

سنگشناسی و پتروژنر لامپروفیرهای آلکالن و کالکآلکالن شمال باختر ایران

مهراج آقازاده^۱* و زهرا بدروزآدَه^۱

^۱ استادیار، گروه زمین‌شناسی، دانشگاه پیام نور، ایران

تاریخ پذیرش: ۱۳۹۱/۰۴/۱۴

تاریخ دریافت: ۱۳۹۱/۰۴/۱۵

چکیده

در شمال باختر ایران انواع لامپروفیرهای غنی از آمفیبول و غنی از بیوتیت بیشتر به صورت دایک رخمنون دارند و نهشته‌های پیش از پلیوسن راقطع می‌کنند. لامپروفیرهای مورد مطالعه در مناطق ارسباران، شبه‌جزیره اسلامی و رشته ارتفاعات می‌شوند رخمنون دارند. بر پایه مطالعات بلورشیمی لامپروفیرهای غنی از آمفیبول دارای کانی‌شناسی عده آمفیبول نوع کرسوتیتی، کلینوپیروکسن نوع دیوپسید در یک زمینه از بلورهای فلدسپار و شبیه قواره‌گاه دارای بلورهای البوین و بیوتیت هستند. لامپروفیرهای غنی از میکا دارای کانی‌های میکا با ترکیب فلوگوپیت و کلینوپیروکسن دیوپسیدی در یک زمینه شبیه‌ای هستند. بر پایه مجموعه کانی‌ای، شیمی کانی‌ها و همچنین ویژگی‌های ژئوشیمیایی لامپروفیرهای غنی از آمفیبول از نوع آلکالن و ترکیب کامپتوتنیتی-سانائیتی و میکا لامپروفیرهای گاه دارای بلورهای آلکالن و ترکیب مینت را دارند. لامپروفیرهای آلکالن ویژگی‌های ماسگماهای نوع OIB را نشان می‌دهند در حالی که لامپروفیرهای آلمفیبول دار سرخه ویژگی‌های حدواتسط بین دو گروه آلکالن و کالکآلکالن را دارند. با توجه به ویژگی‌های ژئوشیمیایی هر دو نوع لامپروفیرهای آلکالن و کالکآلکالن از گوشته نوع اسپینل گارنت لرزولیت حاوی کانی‌های آبدار منشأ گرفته‌اند. ماسگماهای لامپروفیرهای کالکآلکالن از گوشته لیتوسفری متاسوماتیسم شده توسعه عوامل فرورانش و غنی از فلوگوپیت و لامپروفیرهای آلکالن از گوشته لیتوسفری متاسوماتیسم شده توسعه گوشه ژرف و غنی از آمفیبول نشأت گرفته‌اند و در پتروژنر لامپروفیرهای آمفیبول دار سرخه هر دو نوع گوشته دخالت داشته است. لامپروفیرهای آلکالن و کالکآلکالن مورد مطالعه در یک محیط پس از برخورد جایگزین شده‌اند.

کلیدواژه‌ها: لامپروفیر، آلکالن، کالکآلکالن، پتروژنر، ایران.

***نویسنده مسئول:** مهراج آقازاده

E-Mail: Mehrajaghazadeh@yahoo.com

۱- پیش‌گفتار

اقیانوسی و ماسگماهای ایجاد شده را در زمان کرتاسه و اوایل ترشیری تحمل کرده است (Alavi, 1996). در منطقه آذربایجان به دلیل همگرایی نوارهای آتش‌نشانی-نفوذی ارومیه-دختر و البرز، ماسگماهای در دوره ترشیری پیچیده‌تر است. در این منطقه انواع ماسگماهای مرتبط با فرورانش، همزمان با برخورد، پس از برخورد و درون قاره‌ای شناسایی شده است (Aghazadeh et al., 2011). ماسگماهای ترشیری به طور گسترده در جای جای این منطقه رخمنون دارد به طوری که در برخی مناطق ولکانیسم شدید نهشته‌های پیشین را پوشانده و نهشته‌های مربوط به دوره‌های پیشین بیشتر در امتداد گسل‌های ژرف بروزد دارند. آخرین تظاهر ماسگماهای در منطقه شامل ولکانیسم شدید کواترنری است که ولکانیسم یادشده در استراتو‌لکان‌های سهند و سبلان آشکارتر است.

در منطقه شمال باختر ایران و آذربایجان رخمنون‌های بسیاری از سنگ‌های لامپروفیری با ماهیت مختلف حضور دارند (Aghazadeh et al., 2010; Hajalilou et al., 2009; Moayyed et al., 2008؛ آقازاده؛ Hajalilou et al., 2008؛ آقازاده؛ Shirdel, ۱۳۸۸؛ Shirdel, ۱۳۸۸). رخمنون‌های لامپروفیرها عمده‌تر از مناطق ارسباران، شبه‌جزیره اسلامی و کوههای میشو گزارش شده است. در این مطالعه سعی شده است که سنگ‌شناسی و پتروژنر لامپروفیرهای شناسایی شده مختلف در منطقه آذربایجان مورد بحث قرار گیرد و مقایسه سنگ‌شناسی از این سنگ‌های عمل آمده و ویژگی‌های گوشته مولده ماسگماهای این سنگ‌ها مورد ارزیابی قرار گیرد. پژوهش حاضر شامل مطالعات صحرایی و آزمایشگاهی است. مطالعات صحرایی شامل ارزیابی‌های صحرایی و شناسایی رخمنون‌های سنگ‌های لامپروفیری در مناطق مختلف مطالعه موردنی و ارزیابی روابط آنها با سنگ‌های دربرگیرنده و تقدم و تأخیر زمانی آنها است. مطالعات آزمایشگاهی شامل تهیه مقاطع نازک، مطالعات میکروسکوپی، آنالیز نقطه‌ای کانی‌ها، تجزیه شیمیایی نمونه‌ها است. در نهایت پردازش داده‌های حاصل و تعییر و تفسیر آنها صورت گرفته است. برای بررسی ویژگی‌های لامپروفیرهای مورد مطالعه ۲۷ نمونه از آنها انتخاب و برای عناصر اصلی و کمیاب و خاکی کمیاب به روش ICP-Ms و XRF در

لامپروفیرها شاخه‌ای از سنگ‌های آلکالن غنی از CO_2 و H_2O هستند که دامنه ترکیبی سدیک تا پاتاسیک و اولترابازیک تا متوسط دارند (Rock, 1991). آنها سنگ‌های نیمه‌ژرف مزوکرات تا ملانوکرات با بافت پان‌ایدومورف، حاوی درشت‌بلورهای فراوان کانی‌های فرمینزین در انواع ماسگماهای هستند. در این سنگ‌ها معمولاً فلدسپارها در زمینه و به صورت ریزبلور حضور دارند (Rock, 1991؛ Woolley et al., 1996) معمولاً لامپروفیرها نفوذی‌های پس از زمین‌ساختی (Post- Tectonic) هستند که به صورت دایک و یا سیل رخ می‌دهند. آنها بر حسب طبیعت ماسگماشان به انواع آلکالن، کالکآلکالن، اولترابازیک و لامپروفیری تقسیم‌بندی شده‌اند (Rock, 1991). هر یک از انواع یادشده بر حسب تغییر ترکیب کانی‌شناسی، ژئوشیمیایی و محیط تشکیل، از هم‌دیگر متمایزند. این سنگ‌ها ممکن است عامل کانی‌زایی برای برخی از عناصر فلزات پایه و همچنین طلا باشند (Seifert, 2008).

پهنه آذربایجان، به دلیل تنوع رخدادهای ماسگماهای، دگرگونی، رسوبی و زمین‌ساختی و پیچیدگی‌های زمین‌شناسی حاکم بر آن، از جایگاه ویژه‌ای در زمین‌ساختی ایران برخوردار بوده و به واسطه پیچیدگی و عدم مطالعات دقیق زمین‌شناسی، بیشتر نظریات متفاوتی در مورد تاریخچه زمین‌شناسی و زمین‌ساختی آن ارائه شده است. این امر همچنین می‌تواند به دلیل قرار گیری این بخش در منتهی‌الیه شمال باختر ایران و عدم آشایی دقیق با ادامه شمالی این پهنه (کشورهای آذربایجان و ارمنستان و ترکیه) باشد. Innocenti et al. (1982) واحدهای ساختمانی باختر ایران، آذربایجان و خاور ترکیه تا مرکزی را توسط دو نوار کوهزاری مشخص کرده‌اند: نوار توروس و سری ایران مرکزی در جنوب و نوار پونتیا، قفقاز کوچک و البرز (آذربایجان) در شمال. بنابراین در این تقسیم‌بندی بخش شمالی آذربایجان با قفقاز کوچک و کوههای پونتوس در ترکیه مقایسه شده است. منطقه شمال باختر ایران تا رشته توروس در ترکیه بخشی از ابرقاره گندوانا بوده‌اند که در تریاس بالایی به اوراسیا پیوسته و رخداد فرورانش پوسته

از حاشیه دایک‌ها به سوی مرکز بافت و ابعاد درشت‌بلورها افزایش می‌باید به‌طوری که در مرکز دایک‌ها، بلورهای میکا با ابعاد تا بیش از ۵ سانتی‌متر نیز دیده شده است (شکل ۲). این دایک‌ها غنی از درشت‌بلور هستند به‌طوری که در بخش‌های مرکزی فراوانی درشت‌بلورهای میکا تا ۵۰ درصد حجم سنگ را به خود اختصاص می‌دهد. لامپروفیرهای آمفیبیول دار در دره سرخه و الماس تسوج شناسایی شده‌اند. در دره سرخه این دایک‌ها نهشته‌های سازند سرخ بالایی و در دره الماس نهشته‌های سازند کهر راقطع کردند. لامپروفیرهای آمفیبیول دار به صورت دایک‌هایی با ابعاد ۱ تا ۲ متر عرض و طول تا ۳۰۰ متر رخمنون دارند. این دایک‌ها بیشتر رنگ خاکستری تیره و بافت پوروفیری دارند. دایک‌ها حاشیه زود سرددشده همانند لامپروفیرهای میکادار دارند و به سوی مرکز ابعاد درشت‌بلورهای آمفیبیول و نیز بافت کلی سنگ درشت می‌شود. به‌طوری که در بخش‌های مرکزی دایک، سنگ منظره پگماتوییدی به خود می‌گیرد و طول بلورهای آمفیبیول تا بیش از ۳ سانتی‌متر نیز گسترش می‌باید. در این منطقه هیچگونه ارتباط زمانی بین انواع دایک‌های لامپروفیری غنی از میکا و نوع غنی از آمفیبیول دیده نشد.

۲-۲. شبه‌جزیره اسلامی

شبه‌جزیره اسلامی که در بخش خاوری دریاچه ارومیه قرار دارد به صورت یک استراتوولکان با ریخت‌شناسی مخروطی است. این استراتوولکان شامل یک کالدرای ریزشی در بخش مرکزی است. ریش کالدرای با نفوذ دمها و نفوذی‌های تراکیتی و سینیتی دنبال شده است. عده رخمنون‌های موجود در این استراتوولکان شامل یک توالی از تفریت، لوسیت تفریت، بازانیت و لوسیت بازانیت و سنگ‌های آذرآواری وابسته است. کهن ترین رخمنون‌ها در شبه‌جزیره اسلامی شامل یک توالی از تفریت تا لوسیت تفریت و بازانیت تا لوسیت بازانیت با میان‌لایه‌های آذرآواری هستند. سنگ‌های آذرآواری شامل انواع لاهار، برش آتش‌شناشی آگلومرا و توف هستند. برخی دایک‌های تغذیه‌کننده با سنگ‌شناسی مشابه نیز در منطقه بمیژه در بخش‌های مرکزی استراتوولکان دیده می‌شوند. بر پایه نظر Moin Vaziri (1985) این استراتوولکان در طول دو دوره فوران اصلی تشکیل شده است که نهشته‌هایی از تفریت تا تراکیت را تشکیل می‌دهد. در طول چرخه اولیه، گدازه‌های تفریتی لوسیت دار و واحدهای آذرآواری تشکیل شده است. در چرخه بعدی گدازه‌های فنو-تفریتی همراه با تفریت لوسیت دار و نهشته‌های آذرآواری با ترکیب فنولیتی تشکیل شده است. این چرخه‌های آتش‌شناشی با نفوذ دایک‌ها و آپویزیزهای لوسیت تفریت، فنوبلیت-لوسیتیت، تراکی آندزیت و تراکیت دنبال شده است. بر پایه سنجدی‌های K-Ar از واحدهای مختلف (Moradian-ShahrBabaky, 1997) تراکیت‌ها من 6.5 ± 1 میلیون سال، تراکی آندزیت‌ها دامنه سنی از 8 ± 2 میلیون سال (سن بیوتیت)، 12.1 ± 1 میلیون سال (سن سانیدین) تا 15.7 ± 1 میلیون سال (سن هورنبلند) را دارا هستند.

دایک‌های لامپروفیری آخرین تظاهر مانگاتیسم در استراتوولکان شبه‌جزیره اسلامی هستند. این دایک‌ها بیشتر در بخش‌های مرکزی این استراتوولکان رخمنون داشته و ابعاد متغیری نشان می‌دهند به‌طوری که عرض دایک‌ها از $10/5$ تا 3 متر و طول آنها از 50 تا 200 متر در تغییر است. دایک‌ها روند عمومی شمال باخته - جنوب خاور دارند و گاه روند آنها توسط گسل محدود شده است. دایک‌های لامپروفیری افرون بر اینکه نهشته‌های آذرآواری و گدازه‌های تفریتی و بازانیتی راقطع می‌کنند، گاهی در مرکز دایک‌های بازانیتی و لوسیتی به صورت سیستم دایک در دایک تزریق شده‌اند (شکل ۲). در رخمنون‌های سطحی دایک‌ها رنگ خاکستری تیره دارند. دایک‌های لامپروفیری حاشیه زود سرددشده داشته و از حاشیه به سمت مرکز بر ابعاد درشت‌بلورها و همچنین بلورهای زمینه افزوده می‌شود (شکل ۲). بیشتر این دایک‌ها حاوی درشت‌بلورهای میکا هستند و از نوع لامپروفیرهای میکادار به‌شمار می‌روند. فراوانی درشت‌بلورهای میکا 30 تا 40 درصد سنگ را تشکیل می‌دهد. زمینه دایک‌ها از کانی‌های میکا و نیز پیروکسن و کانی‌های دگرسان شده تشکیل شده است.

آزمایشگاه‌های Als و SGS کشور کانادا آنالیز شدند. برای آنالیز سعی شد که نمونه‌های سالم از رخمنون‌های مختلف لامپروفیرها انتخاب شوند. برای این امر، 2 نمونه از لامپروفیرهای توده خانکنده، 9 نمونه از لامپروفیرهای هوراند، 5 نمونه از آمفیبیول دار غنی از آمفیبیول، 6 نمونه از لامپروفیرهای از میکا در رخمنون‌های منطقه سرخه مرند و 5 نمونه از لامپروفیرهای شبه‌جزیره اسلامی مورد آنالیز قرار گرفتند. همچنین 4 نمونه از آنالیزهای ارانه شده توسط Moayyed et al. (2008) از شبه‌جزیره اسلامی نیز برای مقایسه آورده شده است (نمونه‌های SA-8 تا SA-11). همچنین برخی کانی‌های موجود در لامپروفیرهای مورد مطالعه مورد آنالیز نقطه‌ای قرار گرفتند. عناصر اصلی کانی‌ها به‌وسیله دستگاه JEOL JSM 5410 و JEOL JXA 8900RL به ترتیب در داشتگاه ماینز آلمان و هولا اسپانیا آنالیز شده است. در طول آنالیز، ولتاژ شتابنده دستگاه 15 kV ، شدت جریان $10 - 12\text{ nA}$ ، قطر پرتو $5\text{ }\mu\text{m}$ و زمان شمارش بر حسب عنصر مورد آنالیز بین 15 تا 30 ثانیه بوده است. از کانی‌های طبیعی و تجربی برای استاندارد سازی استفاده شده است. استانداردهای استفاده شده برای کالیبراسیون شامل آلیت برای عناصر شده است. استانداردهای استفاده شده برای Cr₂O₃، Al، کرندم برای Ni، Ca، Si، Al، Cr، آندرادیت برای Fe و Ca، MnTiO₃ برای Mn، پریکلаз برای Mg، ارتوكلاز برای K، مگنتیت برای Fe و آپاتیت برای P هستند.

۲- زمین‌شناسی

همچنان که بیان شد رخمنون‌های لامپروفیرها در بخش‌های مختلف شمال باخته ایران شناسایی و مورد مطالعه واقع شدند. این مناطق شامل رشته ارتفاعات میشو، پهنه ارسپاران و شبه‌جزیره اسلامی هستند (شکل ۱). در زیر زمین‌شناسی هر یک از مناطق و رخمنون‌های لامپروفیرها به تفصیل مورد بحث قرار خواهد گرفت.

۲-۱. ارتفاعات میشو

رشته ارتفاعات میشو توسط دو گسل اصلی شمالی و جنوبی "میشو" که در حقیقت دو شاخه فرعی گسل بزرگ تبریز هستند محدود شده است. این رشته ارتفاعات از صوفیان تا تسوج و به سمت باخته تا سلامس و خوی ادامه دارند. رخمنون‌های موجود در این رشته ارتفاعات از باخته به خاور تقاضوت شاخص دارند به‌طوری که در بخش خاوری (صوفیان تا تسوج)، هسته ارتفاعات را بشدت سنگ‌های دگرگون شده پر کامبرین-کامبرین و نهشته‌های پالئوزوییک و گاهی اوایل مزوژوییک به همراه توده‌های نفوذی معروف به گرانیتوییدهای میشو تشکیل می‌دهند. در یال‌های شمالی و جنوبی بخش خاوری نیز رسوبات شیمیایی-تخربی کرتاسه و میوسن گسترش دارند. در یال شمالی افرون بر نهشته‌های تخربی-شیمیایی میوسن، سنگ‌های آتش‌شناشی پلیو-کواترنری چشمگیری دارند. در بخش باخته (تسوج تا سلامس) بیشتر رخمنون‌ها را نهشته‌های تخربی-شیمیایی میوسن تشکیل می‌دهند که این نهشته‌ها در بخش‌هایی با نهشته‌های آتش‌شناشی پلیو-کواترنری به‌ویژه در یال شمالی همراه شده‌اند. در بخش باخته و در درون نهشته‌های میوسن و همچنین کهور رخمنون‌هایی از دایک‌های لامپروفیری در یال شمالی و نیز هسته مرکزی دیده می‌شود. دایک‌های لامپروفیری در دره روستاهای الماس تسوج و سرخه مرند به ترتیب در داخل نهشته‌های دگرگون شده کهر و تخربی-شیمیایی میوسن (سازند سرخ بالایی) رخمنون دارند. بر پایه ابعاد صحرابی رخمنون‌های لامپروفیرها بر پایه نوع درشت‌بلورهای دو نوع میکادار و آمفیبیول دار قابل تقسیم هستند. لامپروفیرهای میکادار در دره روستای سرخه شناسایی شده‌اند و به صورت دایک‌هایی با روند شمالی-جنوبی تا شمال باخته-جنوب خاوری و بیشتر با رنگ خاکستری مشخص هستند. این دایک‌ها واحدهای میوسن (سازند سرخ بالایی) را قطع می‌کنند (شکل ۲). ابعاد دایک‌هایی یادداشده از $10/5$ تا 3 متر عرض و طول آنها در برخی موارد تا 500 متر گسترش دارد. دایک‌ها حاشیه زود سرددشده شاخصی دارند و

۳- ارسباران

همچنان که در مبحث پیشین یاد شده سنگ‌های لامپروفیری مطالعه شده را به نوع غنی از میکا و غنی از آمفیبول می‌توان تقسیم‌بندی کرد. همچنان که بیان شد لامپروفیرهای غنی از آمفیبول شامل کانی مافیک اصلی آمفیبول هستند و بیشتر بافت پورفیری و پانیدیومرف (panidiomorphic) دارند (شکل ۳). آمفیبول‌ها بیشتر خودشکل به صورت درشت بلور و در زمینه سنگ دیده می‌شوند. افزون بر آمفیبول، کلینوپیر و کسن نیز در این نوع لامپروفیرها حضور دارد. بلورهای کلینوپیر و کسن به طور بخشی با کانی‌های ثانوی جایگزین شده‌اند. آمفیبول لامپروفیرهای منطقه خانکنده و سرخه دارای بلورهای الیوین نیز هستند (شکل ۳). این بلورها از حاشیه با آمفیبول‌های فهوده‌ای و کلینوپیر و کسن جایگزین شده‌اند و در برخی مقاطع نازک بلورهای الیوین در مراکز بلورهای پیروکسن و آمفیبول به صورت جزایری باقی مانده‌اند. همچنین بلورهای الیوین گاه با کانی‌های ثانوی جایگزین شده‌اند. در لامپروفیرهای منطقه هوراند افزون بر آمفیبول و کلینوپیر و کسن، بلورهای میکانی نیز دیده می‌شوند. این لامپروفیرها فاقد بلورهای الیوین هستند. بلورهای آمفیبول از نوع قهوده‌ای هستند که در برخی مقاطع از حاشیه با آمفیبول‌های سبز به طور محلی جایگزین شده‌اند. زمینه آمفیبول لامپروفیرها بیشتر از پتانسیم فلدسپارها و بیشتر هیپرسولوس و پلاژیوکلاز تشکیل شده است. کانی‌های فرعی موجود در این سنگ‌ها بیشتر شامل آپاتیت، کانی‌های کدر و در برخی مقاطع زیرکن است. کانی‌های مافیک و نیز فلدسپارهای زمینه با کلریت، کلسیت و گاهی سریسیت، سرپاتین، کانی‌های رسی و زئولیت جایگزین شده‌اند.

در لامپروفیرهای غنی از میکا بافت شاخص پورفیری است که درشت بلورهای میکا و کلینوپیر و کسن در یک زمینه‌ای از این بلورها و آلکالی فلدسپار و کانی‌های ثانوی قرار گرفته‌اند. بلورهای میکا در این سنگ‌ها به‌ویژه در دایک‌ها منطقه‌بندی ترکیبی دارند. به طوری که از مرکز به سمت حاشیه بر مؤلفه آئیت آنها افزوده می‌شود. بلورهای کلینوپیر و کسن بیشتر به صورت خودشکل بوده و گاه با کلسیت، کلریت و کانی‌های کدر جایگزین شده‌اند. کانی‌های فرعی در این نوع لامپروفیرها بیشتر آپاتیت و کانی‌های کدر هستند. در زمینه کلریت، کلسیت و زئولیت فراوان تشکیل شده است.

همچنان که بیان شد کانی‌های موجود در هر دو نوع لامپروفیرها آنالیز نقطه‌ای (EPMA: electron probe microanalysis) انجام شده آمفیبول‌های موجود در لامپروفیرهای غنی از آمفیبول از نوع کلسیک و ترکیب کرسوتیتی دارند (جدول ۱). در آمفیبول‌های آنالیز شده از لامپروفیرهای مورد مطالعه $\text{Na}_{\text{B}} \geq 1$ (Ca+Na)_B و میزان Na_{B} بین $0/5$ تا $1/5$ در تغییر است. بنابراین آمفیبول‌ها به گروه کلسیک تعلق دارند (Leak et al., 1997). همچنین میزان Ca_{B} در آمفیبول‌های آنالیز شده بیش از $1/5$ و مجموع سدیم و پتانسیم در موقعیت A بیشتر از $0/5$ است و میزان Ti در واحد فرمولی بیش از $0/5$ است. بر این اساس آنها ترکیب کرسوتیتی دارند (Leak et al., 1997). میزان TiO_2 در بیشتر بلورهای آمفیبول بیش از 5 درصد وزنی و میزان Mg# از مرکز بلورها به سمت حاشیه کاهش محسوسی به‌ویژه در لامپروفیرهای منطقه هوراند نشان می‌دهد. بر اساس آنالیزهای انجام شده میکاها م وجود در لامپروفیرهای غنی از میکا ترکیب فلوگوپیتی دارند و Mg# در این بلورها بیش از $7/9$ است. همچنین آنها منطقه‌بندی تدریجی ترکیب شاخصی از مرکز به سمت حاشیه نشان می‌دهند. به طوری که از مرکز به سمت حاشیه بر میزان Ba, Fe, Ti افزوده می‌شود و از میزان Mg, Al, Si کاسته می‌شود. بلورهای کلینوپیر و کسن در لامپروفیرهای میکادر از نوع دیوپسید-سالیت بوده و دامنه ترکیبی (Wo₄₆-47En₄₁-48Fs₅₋₁₁) دارند. از مرکز بلورهای کلینوپیر و کسن به سمت حاشیه منطقه‌بندی ترکیبی شاخصی دیده می‌شود به طوری که در مرکز بلورها ترکیب استاتیتی و به سمت حاشیه مؤلفه فروسلیتی غنی می‌شود. بلورهای کلینوپیر و کسن در

پنهان ارسباران شامل بخشی از نوار ماقمایی وابسته به کوهزاد زاگرس است. این پنهان بیشتر شامل توالی‌های آذرین و رسویی مربوط به کرتاسه و سنوزوییک است. پنهان ارسباران توسط سه گسل اصلی تالش در خاور، تبریز در جنوب و باخته و ارس در شمال محدود شده است. ولکانیسم کرتاسه و پالئوسن در این پنهان به سیله نفوذ توده‌های با ماهیت مختلف دنبال شده است (آفازاده، ۱۳۸۸؛ ۲۰۱۰ & ۲۰۱۱؛ Aghazadeh et al., 2010, 2011). پلوتونیس در این منطقه ماهیت کالک‌آلکالن-شوشنیتی داشته و به محیط زمین ساختی پس از برخورد نسبت داده شده است (آفازاده، ۱۳۸۸؛ ۲۰۱۰, 2011). پس از فاز نفوذی الیگومن - میوسن ولکانیسم پلیو - کواترنری آخرین ظاهر ماقماییسم در منطقه است. در پنهان ارسباران، دایک‌های لامپروفیری در دو منطقه شناسایی شده است. ۱) در داخل توده مونزونیتی خانکنده؛ ۲) در منطقه هوراند.

دایک‌های لامپروفیری در داخل توده خانکنده، در جنوب روستاهای شیخ‌قلائق و خلیفیان رخمنون دارند. این دایک‌ها با روند شمال باخته - جنوب خاور-جنوب باخته و بعد متنوع در داخل توده مونزونیتی خانکنده نفوذ کرده‌اند. طول آنها از 50 تا 200 متر و عرض آنها از $0/5$ تا 5 متر در تغییر است. لامپروفیرها ازون بر ساختار دایک گاه به صورت آپویز و احدهای مونزونوگابرو و مونزونیت راقطع می‌کنند. دایک‌ها حاشیه انجامد سریع با توده مونزونیتی میزان نشان می‌دهند و همچنین زینولیت‌هایی از توده مونزونیتی در داخل دایک‌ها وجود دارند که این امر نشانگر تزریق دایک‌ها پس از سرد شدن توده است. گفتنی است که بر پایه مطالعات آفازاده (۱۳۸۸) مونزونیت‌ها سن ۲۸/۹ میلیون سال دارند. در نمونه دستی، لامپروفیرها رنگ خاکستری تیره تا سبز و بافت پورفیری دارند و آنها عموماً دارای درشت بلورهای آمفیبول هستند که در حاشیه دایک‌ها از بعد درشت بلورها کاسته شده و زمینه نیز خیلی دانه‌ریز می‌شود. در داخل دایک‌های لامپروفیری ندول‌هایی از کانی‌های فلیسیک تشکیل شده‌اند که بر پایه نظر Rock (1991) مذاب‌های تفکیک شده از مذاب لامپروفیری هستند.

در منطقه هوراند رخمنون سنگ‌های لامپروفیری به صورت سیل با روند شمال باخته - جنوب خاوری است که در داخل سنگ‌های رسویی نوع فیلیش کرتاسه - پالئوسن نفوذ کرده است (شکل ۲). نهشته‌های میزان سیل لامپروفیری شامل تناوبی از رسوبات ماسه‌سنگی، مارنی و آهکی هستند. سیل لامپروفیری دارای ابعاد قابل ملاحظه‌ای بوده به طوری که عرض آن به بیش از 50 متر و طول آن تا بیش از 70 متر می‌رسد. زمین ساخت و گسل خوردگی سبب جایه‌جایی در امتداد سیل و همچنین حذف گسترش طولی آن به سمت شمال باخته شده است. سیل لامپروفیری یادشده همراه با لایه‌های رسویی دربرگیرنده چین خورده و شبیه 20 درجه به سمت جنوب باخته را دارند. در بخش بالایی و پایینی سیل پختگی در لایه‌های میزان دیده می‌شود به طوری که تا 5 متر این تبادل حرارتی در سنگ‌های میزان دیده شده است. زوناسیون بافتی شاخصی در سیل دیده می‌شود، به طوری که حاشیه بافت دانه‌ریز و پورفیری و مرکز بافت گرانولار و درشت بلور حتی پگماتیتی است. در بخش‌های پورفیری کانی درشت بلور شاخص آمفیبول است که گاه ابعاد بیش از 2 سانتی‌متر دارد. زمینه نیز بیشتر از آلکالی فلدسپار صورتی رنگ تشکیل شده است. در بخش‌های مرکزی به دلیل فراوانی کانی‌های مافیک ضرب رنگینی سنگ ملاتون کرات است.

بر پایه زمین‌شناسی و مشاهدات ماکروسکوپی لامپروفیرهای موجود در مناطق ارسباران، میشو و شبه‌جزیره اسلامی به دو دسته کلی میکا لامپروفیر و آمفیبول لامپروفیر قابل تغییر هستند که این لامپروفیرها در درون نهشته‌های مختلف منطقه نفوذ کرده‌اند.

۳۷-۹/۵ ppm در تغییر است که تمایز شاخصی را فراوانی این دو عنصر بین لامپروفیرهای آلکالن و کالک‌آلکالن نشان می‌دهند (جدول ۲).

تطابق سیستماتیک بین SiO_2 و اکسیدهای اصلی و همچنین عناصر کمیاب نشان‌دهنده این است که تفربیت بلورین نقش اساسی پیش از جایگزینی داشته است (شکل ۶). روند اکسیدهای اصلی در نمودارهای هارکر نشانگر نقش الیون و کلینوپیر و کسن در کنترل روندها بهویژه در نمونه‌های مربوط به لامپروفیرهای آلکالن دارد.

در نمودارهای عنکبوتی نمونه‌های مربوط به سنگ‌های لامپروفیری کالک‌آلکالن شبه‌جزیره اسلامی غنی‌شدگی بالایی از LILEs و تهی‌شدگی از عناصر شبه‌جزیره اسلامی می‌دهند (شکل ۷). همچنان که در این نمودارها مشخص است نمونه‌های این منطقه غنی‌شدگی از Pb و P نشان می‌دهند. نمونه‌های مربوط به لامپروفیرهای کالک‌آلکالن سرخه مرند دارای روند مشابه با نمونه‌های شبه‌جزیره اسلامی هستند اما تهی‌شدگی Ti در روند آنها دیده نمی‌شود. نمونه‌های مربوط به لامپروفیرهای آلکالن مناطق هوراند و خانکنده غنی‌شدگی از عناصر LILEs نشان می‌دهند اما میزان غنی‌شدگی آنها نسبت به نمونه‌های شبه‌جزیره اسلامی پایین است. این نمونه‌ها تهی‌شدگی از HFSEs نشان نمی‌دهند و همچنین غنی‌شدگی از Ti و P و تهی‌شدگی از Pb در روند آنها دیده می‌شود. لامپروفیرهای آمفیبیول دار منطقه سرخه مرند روندهای متمایزی دارند به طوری که این سنگ‌ها غنی‌شدگی از عناصر P, Ti, LILEs نشان می‌دهند ولی در روند آنها تهی‌شدگی شاخصی از Nb-Ta همانند لامپروفیرهای کالک‌آلکالن دیده می‌شود. این امر با روندهای عناصر کمیاب در لامپروفیرهای آمفیبیول دار منطقه هوراند و خانکنده متمایز است (Rock, 1991). فراوانی و الگوی عناصر کمیاب عادی شده در لامپروفیرهای آلکالن منطقه با متوسط مقادیر گزارش شده برای لامپروفیرهای آلکالن و کامپوتینت‌ها (Rock, 1991) مقایسه شده است (شکل ۷). همچنان که در شکل ۷ دیده می‌شود تطابق بسیار خوبی بین الگوی فراوانی عناصر کمیاب لامپروفیرهای کالک‌آلکالن مناطق شبه‌جزیره اسلامی و سرخه متوسط لامپروفیرهای آلکالن و کامپوتینت‌ها نشان می‌دهند. در شکل ۷ الگوی و فراوانی عناصر کمیاب گزارش شده برای لامپروفیرهای کالک‌آلکالن و مینت‌ها با متوسط عناصر کمیاب گزارش شده است. همچنان که در شکل ۷ نیز مشهود است فراوانی و الگوی عناصر کمیاب لامپروفیرهای شبه‌جزیره اسلامی با الگوی مینت‌ها تطابق بسیار خوبی نشان می‌دهد. همچنین الگوی نمونه‌های مربوط به منطقه سرخه با متوسط لامپروفیرهای کالک‌آلکالن هماهنگ تر است.

در نمودارهای عناصر خاکی کمیاب نمونه‌های لامپروفیرهای منطقه از عناصر LREEs غنی‌شدگی و از عناصر HREEs تهی‌شدگی نشان می‌دهند. به طوری که نسبت $_{\text{La}}/\text{Yb}$ در نمونه‌های لامپروفیرهای آلکالن بین ۱۴-۲۴ و در نمونه‌های لامپروفیرهای آلکالن توده خانکنده بیشترین مقدار نسبت $_{\text{La}}/\text{Yb}$ را نشان می‌دهند (۲۳-۴۵) که نشانگر حضور گارنت بیشتر در مشاً آنها است. در نمودار عناصر خاکی کمیاب نمونه‌های مربوط به لامپروفیرهای آلکالن بی‌هنجری Eu نشان نمی‌دهند ولی نمونه‌های مربوط به لامپروفیرهای کالک‌آلکالن بهویژه نمونه‌های مربوط به شبه‌جزیره اسلامی بی‌هنجری منفی کوچکی نشان می‌دهند که نشان دهنده درگیری کانی پلازیوکلاز در مگماه به وجود آورده آنها است (شکل ۷). در لامپروفیرهای شبه‌جزیره اسلامی نسبت $^{\text{Eu}}/\text{Eu}$ بین ۰/۷۶-۰/۷۹ در تغییر است.

۵- پتروژئن

در منطقه مورد مطالعه دو نوع لامپروفیر با ویژگی‌های کانی‌شناسی و ژئوشیمی متمایز رخنمون دارند. از دید کانی‌شناسی وجود آمفیبیول‌های نوع کرسوتیتی،

لامپروفیرهای آمفیبیول دار خانکنده نیز از نوع دیوپسید- سالیت بوده و دامنه ترکیبی $(\text{W}_{0.41}-\text{W}_{0.43})\text{En}_{42}\text{Fs}_{12-15}$ دارند. ویژگی اصلی کلینوپیر و کسن‌های لامپروفیرهای غنی از آمفیبیول، میزان Al_2O_3 و TiO_2 بالا و پایین بودن میزان SiO_2 در مقایسه با لامپروفیرهای میکدار است (جدول ۱ و شکل ۴). بر پایه ترکیب کانی‌شناسی با توجه به حضور آمفیبیول نوع کرسوتیتی لامپروفیرهای آمفیبیول دار از نوع آلکالن و کامپوتینت- سانایت هستند و حضور میکای نوع فلوگوپیت و نیز پیر و کسن دیوپسید- سالیت در لامپروفیرهای غنی از میکا آنها را با لامپروفیرهای کالک‌آلکالن و نوع مینت (Rock, 1991) قابل مقایسه می‌کند (شکل ۴).

۴- ژئوشیمی

در جدول ۲ نتایج آنالیزهای انجام شده از لامپروفیرهای مختلف ارائه شده است. در این جدول همچنین متوسط ارائه شده از Rock (1991) برای لامپروفیرهای آلکالن، کالک‌آلکالن، مینت‌ها و کامپوتینت‌ها آورده شده است. نمونه‌های آنالیز شده از لامپروفیرهای آلکالن (غنی از آمفیبیول) و کالک‌آلکالن (غنی از میکا) دامنه SiO_2 متغیر (به ترتیب ۴۸-۴۰ و ۴۲-۴۸ درصد وزنی) دارند. میزان TiO_2 در لامپروفیرهای آلکالن بیش از ۱/۵۷ درصد و در لامپروفیرهای کالک‌آلکالن کمتر از ۱/۱۷ است. این ویژگی تمایز شاخصی بین لامپروفیرهای آلکالن و کالک‌آلکالن را ایجاد می‌کند. میزان K_2O لامپروفیرهای کالک‌آلکالن نسبت به انواع آلکالن بالا بوده و دامنه این اکسید در لامپروفیرهای کالک‌آلکالن شبه‌جزیره اسلامی بین ۸/۰۶-۴/۶ درصد در تغییر است (جدول ۲) گفتنی است که بیشترین مقدار K_2O در لامپروفیرهای شبه‌جزیره اسلامی دیده شده است. لامپروفیرهای شبه‌جزیره اسلامی با توجه به میزان $\text{MgO} > 3\%$ و $\text{K}_2\text{O}/\text{Na}_2\text{O} > 2$ و $\text{MgO} < 3\%$ و $\text{K}_2\text{O}/\text{Na}_2\text{O} < 2$ در نمودار (Foley et al., 1987) را دارند (جدول ۲). در نمودار (K₂O/Na₂O) در برابر K₂O (الف) نمونه‌های مربوط به شبه‌جزیره اسلامی در بخش اولترایاتسیک و دیگر نمونه‌ها در محدوده شوشوئیتی قرار دارند. نمونه‌های لامپروفیرهای کالک‌آلکالن دامنه K₂O/Na₂O بیش از ۱ دارند و میزان این نسبت در لامپروفیرهای شبه‌جزیره اسلامی تا ۱۳/۴ می‌رسد که برای آmfipirهای آلکالن، این نسبت در حدود ۱ و بیش از آن ولی در یک نمونه از لامپروفیرهای سرخه مرند در حدود ۰/۴ است. در نمودار CaO در برابر Al₂O₃ (شکل ۵ - ب) که برای سنگ‌های اولترایاتسیک ارائه شده است (Foley et al., 1987) نمونه‌های منطقه ویژگی‌های سنگ‌های ایالت Roman ایالتیala را دارند. دامنه MgO در نمونه‌های لامپروفیرهای آلکالن از ۱۱/۲-۴/۸۲ درصد و در لامپروفیرهای کالک‌آلکالن از ۳/۹۵ تا ۱۰/۶ در تغییر است. میزان عدد Mg نیز در نمونه‌های لامپروفیرهای آلکالن از ۰/۶۸ تا ۰/۶۸ و در نمونه‌های لامپروفیرهای کالک‌آلکالن از ۰/۴۴ تا ۰/۷ در تغییر است. این مقادیر نشان می‌دهد که بیشتر نمونه‌ها فرایند تفریق بلورین را به مقادیر متفاوت تحمل کرده‌اند. میزان P₂O₅ در لامپروفیرهای مطالعه شده بالا و در انواع آلکالن دارای دامنه ۰/۴۶-۰/۴۸ درصد و در انواع کالک‌آلکالن دامنه ۰/۷۱-۰/۹۴ درصد را نشان می‌دهند. لامپروفیرها میزان LOI بالا (در لامپروفیرهای آلکالن ۱/۴-۱/۷ درصد و در لامپروفیرهای کالک‌آلکالن ۳/۷۶-۷/۶۹ درصد) دارند. این امر به دلیل فراوانی زیاد ندولهای غنی از کربنات و کانی‌های آبدار مانند فلوگوپیت و کرسوتیت‌های غنی از تیتان در لامپروفیرهای مورد مطالعه است. عناصر سازگار فراوانی متغیر دارند به طوری که در لامپروفیرهای آلکالن فراوانی Ni از ۱۰ تا ۲۳۰ ppm و در لامپروفیرهای کالک‌آلکالن از ۲۱ تا ۸۶ ppm در تغییر است. دامنه تغییرات برخی عناصر کمیاب در لامپروفیرهای آلکالن و کالک‌آلکالن کاملاً متمایز است. در نمونه‌های لامپروفیرهای آلکالن و کالک‌آلکالن Ba به ترتیب از ۴۵۰-۱۴۶۰ و ۱۰۹۰-۳۲۷۰ ppm و میزان Th به ترتیب از ۱۴/۱-۳

مطالعات تجربی نشان داده که تبلور ماگمای بازالتی آبدار منجر به تشکیل لامپروفیرهای آلکالن می شود (Rock, 1987 & Tilley, 1961). آب ماگما سبب تقدم تبلور میکا و آمفیول شده و از تبلور پلازیو کلاز جلوگیری به عمل می آورد. بر طبق مطالعات تجربی (Rock, 1987) بر روی ترکیب کامپتونیتی در شرایط آبدار، تبلور پلازیو کلاز در ماگما فقط چند درجه بالای سولیدوس رخ می دهد. همچنین بر اساس این مطالعات، مجموعه کانی شناسی لامپروفیرهای آلکالن از یک ماگمای تولیتی (حتی در نمونه های غنی از سیال) تشکیل نمی شود. چرا که آمفیول در ماگمای تولیتی در شرایط ساب سولیدوس و یا تنها کمی بالاتر از سولیدوس متبلور می شود و در چهاروجهی بازالت، لامپروفیرهای آلکالن و تولیت ها در دو سوی خط جداش بخش اشباع از بخش غیراشبع قرار می گیرند. در شرایط CO_2 بالا، ترکیب مذاب به سمت سانائیت میل می کند. در این شرایط به طور انتخابی از تبلور مؤلفه آنورتیت جلوگیری به عمل آمده، از این رو تنها سبب تبلور آلکالی فلدوپار می شود (Rock, 1987). هر چند که نظرات مختلفی در مورد منشأ ماگمای آبدار با ترکیب لامپوفیر آلکالن (بازالت آبدار) بیان شده، ولی پذیرفته ترین مدل در واقع تشکیل این ماگما از یک منشأ گوشته ای به جای پوسته ای بوده و ماگمای لامپوفیرهای آلکالن مستقیماً از یک گوشته آبدار غیرمعمول مشتق شده است (Rock, 1991). لامپروفیرهای آلکالن منطقه از عناصر LILEs و REE's غنی شدگی نشان می دهند (شکل ۷) این غنی شدگی می تواند ناشی از عوامل زیر باشد: ۱) ذوب گوشته متاسوماتیکی شده که طی فرایند متاسوماتیسم از عناصر LILEs به طور انتخابی غنی شده اند، ۲) باقی ماندن گارنت در منشأ، در نتیجه بالا رفتن نسبت عناصر REE/HREE در مذاب حاصل، ۳) واکنش با سنگ های دیواره، به ویژه سنگ های پوسته قاره ای که دارای نسبت های بالایی از عناصر LILEs و REE's هستند، ۴) درجه ذوب بخشی خیلی پایین منشأ. با توجه به شیمی سنگ های لامپوفیری آلکالن مورد مطالعه، نقش عوامل ۱، ۲، ۳ و ۴ در غنی شدگی از عناصر LILEs و REE's به سزا بوده است. همچنین، عامل ۳ نیز به مقدار ناچیزی در این امر مؤثر بوده باشد. این امر، با توجه به نسبت Th/La نمونه های لامپوفیری آلکالن که دامنه بین ۰/۰۶ تا ۰/۰۱۹ دارد قابل اثبات است. مقدار این نسبت برای ماگمای اولیه نشأت گرفته از گوشته در حدود ۰/۱۲ است (Sun & Mc Donough, 1989).

غنی شدگی از عناصر LILE و همچنین REE و سیلیس از ماگماهای نشأت گرفته از گوشته غنی شده و پوسته قاره ای است. با توجه به میزان عناصر سازگار و سیلیس لامپوفیرهای مورد مطالعه نمی توانند از ذوب مستقیم پوسته قاره ای ایجاد شوند. بنابراین منشأ ماگمای لامپوفیرهای منطقه از گوشته غنی شده از عناصر ناسازگار است. در نمودارهای عنکبوتی عادی شده نسبت به گوشته همچنان که بیان شد روندهای متمایزی برای لامپوفیرهای مورد مطالعه دیده می شود. نمونه های لامپوفیرهای آلکالن مناطق خانکنده و هوراند در نمودارهای عنکبوتی روندهای صاف نشان می دهند (شکل ۷). این سنگ ها بدون بی هنجاری عناصر Nb-Ta-Ti هستند و مؤلفه غنی شدگی توسط عوامل فروراش در منشأ را نشان نمی دهند. الگوی نمونه های لامپوفیرهای آلکالن منطقه از گوشته غنی شده از گوشته استنوسفری نوع OIB است. ولی نمونه های لامپوفیرهای کالک آلکالن (منطقه سرخه مرند و شبے جزیره اسلامی) بی هنجاری منفی در عناصر Nb-Ta-Ti دارند که نشانگر دخالت مؤلفه فروراش در منشأ آنها است. غنی شدگی از عناصر LILE و حضور بی هنجاری منفی در عناصر Nb-Ta-Ti شاخصاً نشانگر منشأ گرفته از گوشته لامپوفیرهای از گوشته متاسوماتیسم شده توسط عوامل فروراش است (مدل ۱ پیشنهاد شده در مبحث پیشین). این امر در نمودار Th/Yb در برابر Nb/Yb که برای تمايز ا نوع منشأ گوشته ای پیشنهاد شده است به طور بارزی قابل استنباط است به طوری که نمونه های مربوط به لامپوفیرهای آلکالن مناطق خانکنده و هوراند در محدوده گوشته نوع

کلینوپیروکسن های سالیتی - دیپسیدی غنی از Al و لامپوفیرهای خانکنده و هوراند را قابل قیاس با انواع آلکالن می کند. بر حسب ویژگی های کانی شناسی و ژئوشیمیایی این لامپوفیرها قابل قیاس با انواع کامپتونیتی - سانائیتی هستند. لامپوفیرهای غنی از میکای شبه جزیره اسلامی و منطقه سرخه با توجه به حضور میکای فلوگوپیتی غنی از Ti، پیروکسن های فقیر از Ti و Al از نوع کالک آلکالن هستند. بر حسب کانی شناسی و ویژگی های ژئوشیمیایی آنها قابل قیاس با نوع مینت هستند (جدول های ۱ و ۲).

لامپوفیرهای کالک آلکالن و آلکالن مورد مطالعه روندهای متفاوتی در نمودارهای هارکر دارند (شکل ۶) بنابراین آنها فرایندهای تحول متفاوتی را پشت سر گذاشته اند. لامپوفیرهای آلکالن دامنه MgO بین ۰/۱۲ تا ۰/۸۲ و لامپوفیرهای کالک آلکالن دامنه MgO بین ۰/۹۵ تا ۰/۶ درصد همچنین Ni در لامپوفیرهای آلکالن از ۱۰ ppm و در لامپوفیرهای کالک آلکالن از ۲۱ ppm در تغییر است. این مقادیر نشان می دهند که برخی از نمونه های لامپوفیرهای آلکالن اولیه بوده و بخش بیشتری از نمونه ها به ویژه در انواع کالک آلکالن فرایندهای تحول و تفریق مگمایی را تحمل کرده اند. کاهش سریع در میزان عناصر SiO_2 به همراه افزایش FeO , Ni , MgO به این که بهینه از CaO با MgO با CaO تطبیق مثبت نشان می دهد بنابراین کلینوپیروکسن نیز در حین تفریق نقش مهمی به ویژه در لامپوفیرهای آلکالن داشته است. ولی پلازیو کلاز نقش مؤثری در فرایند تفریق در لامپوفیرهای آلکالن نداشته است چرا که تطبیق منفی بین O و MgO با Al_2O_3 و $Dideh$ می شود. مجموعه کایانی $Ol + Cpx \pm Pl$ می تواند تغییرات شیمیایی روند عناصر را در لامپوفیرهای آلکالن توضیح دهد. نمونه های لامپوفیرهای کالک آلکالن در نمودارهای هارکر هر چند پراکنده اند نشان می دهند ولی آنها روندهای کاملاً متفاوتی نسبت به لامپوفیرهای آلکالن دارند (شکل ۶). با افزایش SiO_2 در این سنگ ها CaO و Al_2O_3 روند افزایشی و همچنین MgO و Ni روند ثابت و یا افزایشی نشان می دهند. میزان CaO با افزایش سیلیس در نمونه های لامپوفیرهای کالک آلکالن ابتدا روند کاهش سریع بعد افزایشی نشان می دهد. دامنه FeO نیز با افزایش SiO_2 ثابت می ماند. روند ثابت و یا افزایشی Sr و Ba با افزایش SiO_2 نشانگر این است که فلدوپارها به ویژه پلازیو کلاز در فرایند تفریق نقش مؤثری ایفا نکرده است. با این وصف به نظر می رسد که در لامپوفیرهای کالک آلکالن نقش مؤثری در فرایند تفریق داشته است.

پتروزنر لامپوفیرها پیچیده و متفاوت بوده و عموماً به طرق مدل های زیر تفسیر شده است. هر چند که در بسیاری از موارد نقش چند مدل در پتروزنر آنها پیشنهاد شده است.

- ذوب بخشی گوشته متاسوماتیزم شده (Roden, 1981; Rogers et al., 1982; Domenick & Basu, 1982; Jaques et al., 1986; Bergman, 1987; Stille et al., 1989; Zhang et al., 2003) در هر دو محیط مربوط به فروراش و یا گوشته لیتوسفری زیرقاره ای (McKenzie, 1989; Shapperd & Taylor, 1992; Thompson & Gibson, 1994; Canning et al., 1996; Fowler & Henny, 1996; Currie & Williams, 1993; Rock, 1977; - آلایش پوسته ای ماگماهای مافیک (Nelson et al., 1986; Rock, 1991

- مذاب های استنوسفری مستقیم مشتق شده از پلوم های گوشته ای که در طی حوادث پیشین متاسوماتیسم شده است (Kerr et al., 2010; Dostal & Owen, 1998) - اختلاط ماگمای بازالتی ناشی از گوشته لیتوسفری اولتراتپاتیک بر اثر افزایش درجه حرارت یا نازک شدگی گوشته لیتوسفری زیرقاره ای (Thompson et al., 1989) یا مذاب های لامپوفیرهای آلکالن مناطق خانکنده و هوراند در محدوده گوشته سیلیسی مشتق شده از پوسته (Rock, 1987 & 1991; Prelevic et al., 2005; Xu et al., 2007).

نمودار نشان داد که آنها از ذوب بخشی با درجه حداقل ۱ تا حداقل ۵ درصد یک گوشته مشابه با آناتولی باختری (WAM) با میزان La/Sm و نسبت La/Sr بیشتر از هر دو گوشته DMM و PM ایجاد شده‌اند. بنابراین ذوب گوشته‌های نوع DMM و یا PM نمی‌توانند ماقماهای لامپروفیری مورد مطالعه را بوجود آورند. بنابراین برای تشکیل ماقماهای لامپروفیری مورد مطالعه گوشته‌ای غنی از عناصر REE نسبت به گوشته نوع DMM نیاز است.

در شکل ۹ - ب نسبت Sm/Yb که وابسته به حضور گارنت در منشأ است در برابر Sm رسم شده است. با توجه به این که Yb در گارنت سازگار ولی در کلینوپیروکسن ناسازگار است بنابراین این نسبت می‌تواند برای درک کانی‌شناسی منشأ گوشته لامپروفیرهای آلکالن و کالک‌آلکالن مفید باشد. در این نمودار نمونه‌های لامپروفیرهای آلکالن و کالک‌آلکالن در بخش بالایی روند مربوط به ذوب گوشته اسپینل لرزولیت قرار گرفته و نسبت Sm/Yb بالایی دارند. در این نمودار بیشتر نمونه‌های لامپروفیرهای مورد مطالعه در بین روند گوشته مشکل از گارنت + اسپینل لرزولیت از یک طرف و گارنت لرزولیت از طرف دیگر قرار دارند. بنابراین هر دو نوع لامپروفیرهای کالک‌آلکالن و آلکالن از یک گوشته ژرف دارای گارنت در ترکیب کانی‌شناسی منشأ گرفته‌اند.

شکل ۹ - ت به خوبی نشان می‌دهد که ذوب بخشی یک منشأ اسپینل لرزولیت نمی‌تواند ماقماهای لامپروفیری آلکالن و کالک‌آلکالن مورد مطالعه را ایجاد کند. در این نمودار بیشتر نمونه‌های لامپروفیرهای آلکالن و همچنین لامپروفیرهای کالک‌آلکالن (به غیر از برحی از نمونه‌های مربوط به شبه جزیره اسلامی که در محدوده روند منشأ گارنت لرزولیت قرار می‌گیرند) در زیر روند مربوط به ذوب گارنت لرزولیت با ترکیب اولیه گوشته آناتولی باختری (WAM) قرار می‌گیرند. نمونه‌ها در محدوده گوشته دارای گارنت و اسپینل ولی با میزان گارنت بیشتر قرار دارند. عنوان شد که انواع مختلف لامپروفیرهای کالک‌آلکالن به وسیله ذوب بخشی در درجات مختلف ایجاد می‌شوند. مینت‌ها از ذوب بخشی درجه خیلی پایین گارنت لرزولیت، کرسانتیت‌ها از ذوب بخشی ۲/۵ تا ۴ درصد اسپینل - گارنت لرزولیت و ماقماهای اسپیارتیتی در درجات بالای ذوب بخشی حدود ۴/۵ تا ۷ درصد یک اسپینل لرزولیت تشكیل می‌شوند (Shand et al., 1994; Von Seckendorff et al., 2004).

توجه به این که عناصر HFSEs (مانند Nb و Ta) در گوشته لیتوسفری نسبت به LREEs تنهی شده هستند بنابراین نسبت‌های بالای ($Nb/La \sim 1$) و پیزگی ماقماهایی هستند که از گوشته لیتوسفری همانند OIB منشأ می‌گیرند و نسبت‌های پایین ($Nb/La \sim 0.05$) نشانگر منشأ گوشته لیتوسفری است. دامنه نسبت Nb/La در لامپروفیرهای آلکالن خانکنده و هوراند عموماً پیش از (ین ۰/۹ - ۱/۵) است. این نسبت در لامپروفیرهای کالک‌آلکالن شبه جزیره اسلامی و سرخه مرند عموماً کمتر از ۱ و بین ۰/۲۳ - ۰/۰۱ در تغییر است. در لامپروفیرهای آمفیبیولدار سرخه مرند این نسبت بین ۰/۵۱ - ۰/۶۶ متغیر است (شکل ۱۰ - الف). با وجود این که میزان پایین نسبت Nb/La می‌تواند از یک منشأ گوشته لیتوسفری منشأ گرد و لی گوشته‌ای که توسط سیالات فروراشی ماتسوماتیسم شده باشد نیز از مؤلفه La غنی می‌شود. این به دلیل آن است که تحرک La در سیالات ناشی از فروراش به میزان قابل ملاحظه‌ای بالاتر از تحرک Nb است. این امر نیز می‌تواند باعث پایین آمدن نسبت Nb/La در لامپروفیرهای کالک‌آلکالن منطقه شود. پیزگی های منشأ سنگ‌های لامپروفیری مورد مطالعه به وسیله نمودارهای عناصر پیزگی ای از تواند مورد ارزیابی قرار گیرد (شکل ۱۰ - ب). در نمودار Nb/Th در برابر Nb نمونه‌های مربوط به لامپروفیرهای کالک‌آلکالن در محدوده کمان آتششناختی و نمونه‌های لامپروفیرهای آلکالن هوراند و خانکنده در محدوده مربوط به گوشته نوع OIB قرار دارند. در این نمودار نیز نمونه‌های لامپروفیرهای آمفیبیولدار سرخه مرند بین محدوده نمونه‌های لامپروفیرهای

OIB و در داخل آرایه MORB-OIB قرار دارند در حالی که نمونه‌های لامپروفیرهای کالک‌آلکالن در محدوده گوشته غنی شده توسط عوامل فروراشی قرار دارند (شکل ۸ - الف). لامپروفیرهای آمفیبیولدار منطقه سرخه مرند نیز بی‌هنجری منفی در عناصر Nb-Ta-Ti دارند که آنها را از دیگر لامپروفیرهای آلکالن تمایز می‌سازند. در شکل ۸ - الف آنها نیز به سمت محدوده گوشته غنی شده توسط عوامل فروراشی متمایل شده‌اند که این امر حکایت از تأثیر هر دو نوع گوشته نوع OIB و ماتسوماتیسم شده توسط عوامل فروراش در تشکیل آنها است. این امر در نمودار Th/Yb در برابر Ta/Yb نیز کاملاً مشهود است (شکل ۸ - ب). نسبت‌های بالا مستقل از فرایندهای تغیریق بلورین یا ذوب بخشی است بنابراین نسبت‌های یادشده نشانگر تغییرات منشأ و یا آلدگی پوسته‌ای است. ماقماهای بازیک مشق شده از گوشته استنوسفری، گوشته مورب تهی شده، پلوم استنوسفری یا گوشته لیتوسفری غنی شده به وسیله مذاب‌های مشتق شده از استنوسفر در این نمودار همه در داخل یا نزدیک منطقه آرایه گوشته‌ای که با نسبت ثابت Th/Ta مشخص می‌شود قرار می‌گیرند. ماتسوماتیسم ناحیه منشأ به وسیله فرایندهای فروراش با یک غنی شدگی از Th در مقایسه با Ta مشخص می‌شوند از این رو نسبت‌های Th/Yb بالاتر از نسبت Ta/Yb است. در این نمودار نیز همانند نمودار پیشین نمونه‌های لامپروفیری آلکالن در داخل آرایه گوشته‌ای قرار دارند. در حالی که لامپروفیرهای کالک‌آلکالن دارای مقادیر بالایی از نسبت Th/Yb هستند و در محدوده ماتسوماتیسم شده‌اند قرار دارند. Pearce (2008) اظهار می‌دارد که مقادیر بالایی فروراشی Th/Yb نشان‌دهنده غنی شدگی منشأ به وسیله عوامل فروراش و نیز آلایش پوسته‌ای است. با توجه به دامنه SiO_2 در لامپروفیرهای کالک‌آلکالن مورد مطالعه آلایش توسط پوسته نمی‌تواند نقش مؤثری در افزایش این نسبت داشته باشد بنابراین افزایش این نسبت در لامپروفیرهای کالک‌آلکالن منطقه مستقیماً به منشأ و دخلات عوامل فروراش در ماتسوماتیسم منشأ گوشته‌ای آنها دارد.

در سنگ‌های مورد مطالعه غنی شدگی از عناصر LILEs و LREEs در نمودارهای عادی شده نسبت به گوشته اولیه نشانگر یک منشأ گوشته‌ای غنی شده از LILEs و LREEs در منشأ آنها است. فلوگوپیت و آمفیبیول منابع اصلی برای عناصر Pearce در گوشته لیتوسفری هستند. در مقایسه با آمفیبیول، فلوگوپیت دارای ضربی توزیع پیشتری نسبت به Rb/a و a واما ضربی توزیع پایینی برای Sr است. بنابراین نسبت بالای Rb/Sr در لامپروفیرهای کالک‌آلکالن (>0.1) در مقایسه با لامپروفیرهای آلکالن (<0.1) و نسبت بالای Ba/Sr در لامپروفیرهای کالک‌آلکالن (>0.1) و نسبت بالای Ba/Sr در لامپروفیرهای آلکالن (<0.1) این دو عنصر در لامپروفیرهای آلکالن ($1/5$) نشانگر برتری فلوگوپیت در منشأ گوشته لامپروفیرهای کالک‌آلکالن و برتری آمفیبیول در منشأ گوشته لامپروفیرهای آلکالن است.

در شکل ۹ نسبت La/Sr در برابر فراوانی La برای ارزیابی و پیزگی های منشأ کانی‌شناسی منشأ و درجه ذوب بخشی مدل‌سازی شده است. در مدل‌سازی از روش ذوب دسته‌ای (Batch) (Show 1970) و ضربی توزیع REE گردآوری شده توسط Mc Kenzie & Onions (1995) است. دو ترکیب متفاوت برای تعريف آرایه گوشته‌ای استفاده شده است. ۱) گوشته مورب تهی شده (DMM) و گوشته اولیه نتایج مدل‌سازی ابتدا از راه تم رک عنصر شدیداً ناسازگار (La) و عنصر کمتر ناسازگار (Sm) امتحان شده است. هر دو عنصر La و Sm به وسیله تغییرات کانی‌شناسی منشأ (مانند گارنت و یا اسپینل) تحت تأثیر قرار نمی‌گیرند. بنابراین می‌توانند اطلاعاتی را در مورد ترکیب کلی منشأ در اختیار قرار دهند. شکل ۹ - الف نشان می‌دهد که بیشتر نمونه‌های لامپروفیری مورد مطالعه میزان La/Sr در نمودار نسبت La/Sr پیش از ماگماهایی است که از ذوب گوشته مورب بالایی شده (DMM) منشأ می‌گیرند این امر در درجات ذوب بخشی خیلی پایین ($0/1$) نیز صادق است. برون‌یابی نمونه‌های لامپروفیرهای آلکالن و کالک‌آلکالن در این

و الماس تسویج هر دو نوع دایک‌های لامپروفیری غنی از میکا و آمفیبیول شناسایی شده است. این دایک‌ها سازندگان کهرو و سرخ بالایی را قطع می‌کنند. بنابراین به پس از میوسن بالایی تعلق دارند. دایک‌های لامپروفیری در شبه‌جزیره اسلامی غنی از میکا هستند و نهشته‌های آذرآواری و گذاره‌های تفریتی و بازانیتی این استراتوکالان را قطع می‌کنند. در پهنه ارسباران دایک‌های لامپروفیری غنی از آمفیبیول هستند و در منطقه هوراند به صورت سیل و در داخل توده خانکنندی به صورت دایک‌های متعدد رخنمون دارند. در منطقه هوراند سیل لامپروفیری نهشته‌های آتشفشاری-رسوبی کرتاسه را قطع می‌کند و همراه با این رسوبات چین خورده است. در منطقه خانکنندی دایک‌های لامپروفیری مورد مطالعه توده مونزونیتی خانکنندی به سن الیگومن بالایی را قطع کرده است. لامپروفیری‌های غنی از آمفیبیول دارای بافت پورفیری و حاوی آمفیبیول نوع کرسوتیت، الیوین، کلینوپیروکسن و به ندرت بیوتیت در یک زمینه‌ای از پاتاسم فلدسپار هیبرسولوس و پلاژیوکلاز هستند. لامپروفیری‌های غنی از میکا نیز دارای بافت پورفیری و حاوی درشت‌بلورهای میکای فلوگوپیتی و کلینوپیروکسن دیوپسیدی - سالیتی در یک زمینه از فلدسپار، شیشه تبلور یافته و کانی‌های ثانویه هستند. لامپروفیری‌های غنی از آمفیبیول با انواع لامپروفیری‌های آلکالان کامپتونیتی-سانانیتی و لامپروفیری‌های غنی از میکا با انواع کالک‌آلکالان میتنی قابل قیاس هستند. لامپروفیری‌های آلکالان میزان اکسید تیتانیم بالا و اکسید پاتاسم پایین در مقایسه با لامپروفیری‌های کالک‌آلکالان دارند. لامپروفیری‌های کالک‌آلکالان در نمودارهای عنکبوتی و عناصر کمیاب غنی شدگی از عناصر LILEs و REEs و تهی شدگی از عناصر HFSEs ندارند و الگوی صاف را به نمایش می‌گذارند. الگوی لامپروفیری‌های کالک‌آلکالان در نمودارهای عنکبوتی قابل مقایسه با مگماهای محیط‌های مرتب با فرورانش و الگوی لامپروفیری‌های آلکالان قابل مقایسه با مگماهای نوع OIB است. در این نمودارها لامپروفیری‌های آمفیبیول دار سرخ به طور جالبی دارای بی‌هنگاری منفی در عناصر Nb-Ta هستند و ویژگی‌های ژئوشیمیایی حدوداً بین لامپروفیری‌های آلکالان و کالک‌آلکالان دارند. لامپروفیری‌های آلکالان خانکنندی میزان نسبت La/Yb (بالایی) دارند که نشانگر حضور گارنت بیشتر در منشأ آنها است. با توجه به روندهای دیده شده در نمودارهای هارکر الیوین و کلینوپیروکسن فاز اصلی و مهم در فرایند تفریق لامپروفیری‌های آلکالان بوده در حالی که در لامپروفیری‌های کالک‌آلکالان کلینوپیروکسن نقش بارزتری داشته است. لامپروفیری‌های آلکالان مورد مطالعه از گوشه لیتوسفری آمفیبیول دار متابوسوماتیسم شده توسعه گوشه تر فرایندهای فرورانش نشأت گرفته‌اند. در پتروزنر لامپروفیری‌های آمفیبیول دار سرخ هر دو نوع گوشه نقش داشته است. با توجه به ویژگی‌های ژئوشیمیایی هر دو نوع لامپروفیری‌های آلکالان و کالک‌آلکالان از گوشه اسپینل گارنت‌لرزولیت منشأ گرفته و در یک محیط پس از برخورد جایگزین شده‌اند.

سپاسگزاری

از معاونت محترم پژوهشی دانشگاه پیام نور به خاطر تأمین هزینه‌ها از اعتبارات طرح تحقیقاتی سپاسگزاری می‌شود. از استاد Antonio Castro و Dejan Prelevic به دلیل فراهم کردن امکان تجزیه‌های میکروپربوب سپاسگزاری می‌شود. از آقای دکتر محمدولی ولی‌زاده و همچنین داوران فصلنامه علوم زمین به دلیل رائمه نکات سازنده سپاسگزاری می‌شود.

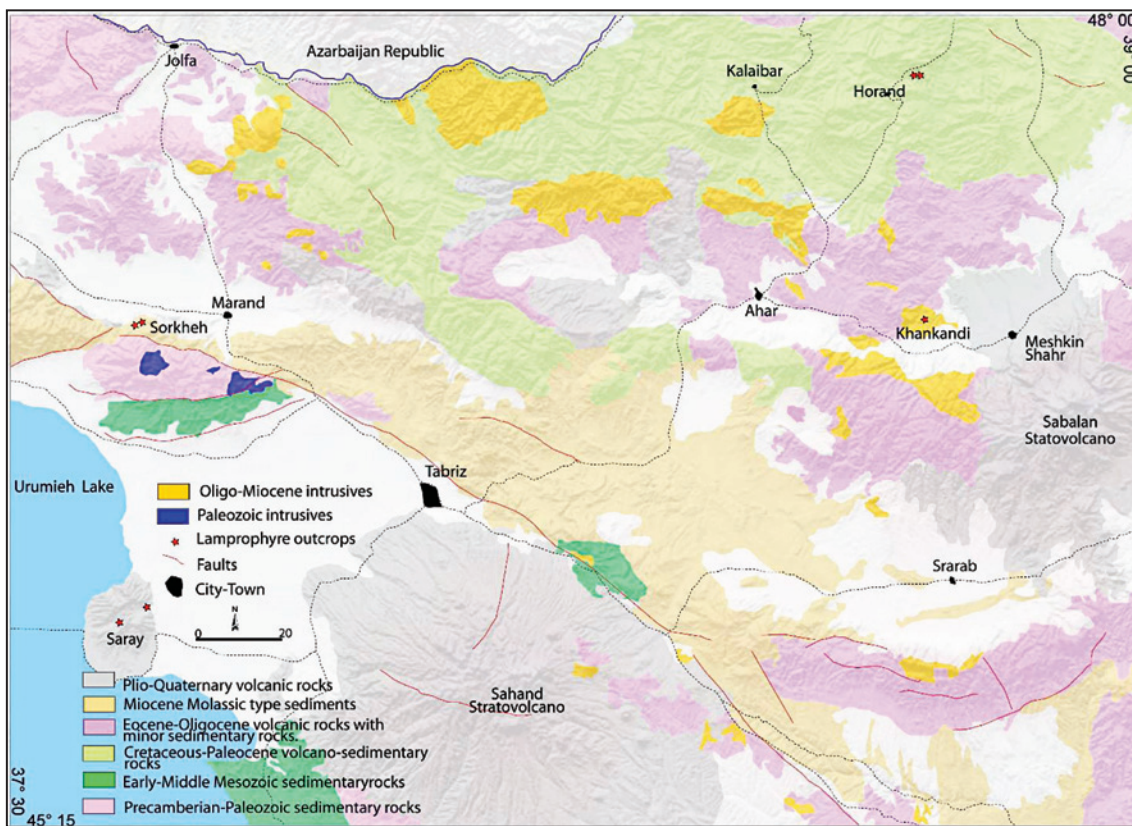
آلکالان و کالک‌آلکالان قرار دارند که نشانگر تأثیر هر دو منشأ در تشکیل سنگ‌های آلکالان سرخه مرند است.

حضور آمفیبیول در منشأ لامپروفیری‌های آلکالان نشان‌دهنده این است که نمی‌توانند این سنگ‌ها از گوشه ژرف منشأ بگیرند زیرا آمفیبیول در گوشه استنسوفری پایدار نیست و بنابراین آمفیبیول‌های آلکالان از گوشه لیتوسفری متاسوماتیسم شده توسط گوشه استنسوفری ژرف منشأ گرفته‌اند. همچنین لامپروفیری‌های آلکالان نیز از گوشه لیتوسفری متأثر از عوامل فرورانشی منشأ گرفته‌اند. در تشکیل لامپروفیری‌های آمفیبیول دار سرخه نیز هر دو منشأ دخالت داشته است.

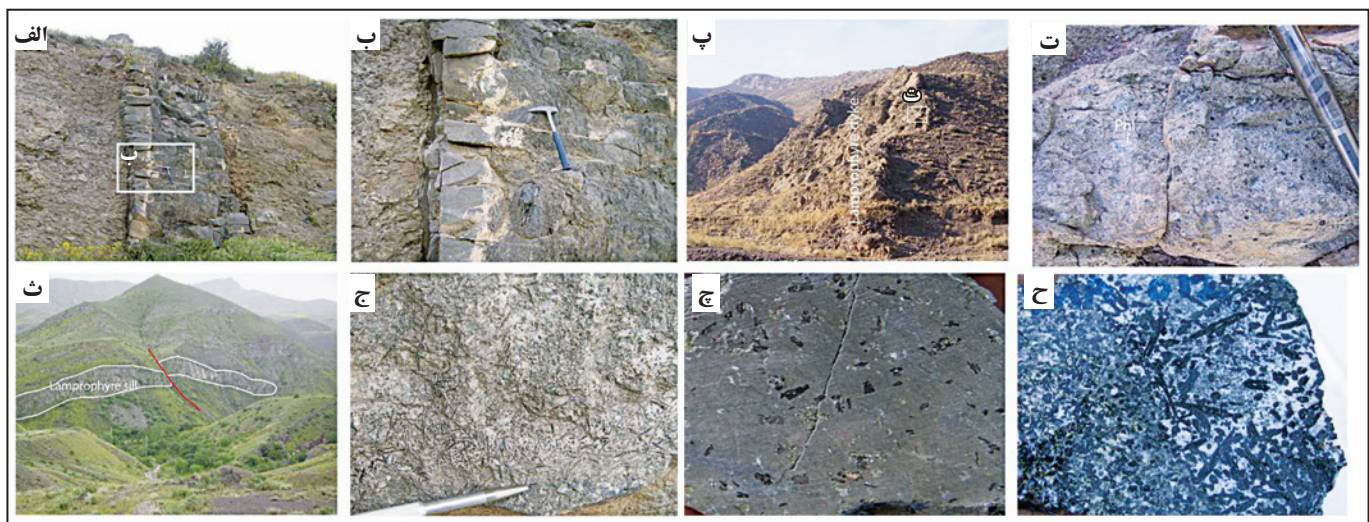
همانگونه که بیان شد دایک‌های لامپروفیری موجود در مناطق مختلف در داخل واحدهای مختلف نفوذ کرده‌اند. با توجه به ستون چینه‌شناسی واحدهای منطقه تعیین سن‌های به دست آمده (بخش زمین‌شناسی) بخش عملهای از این دایک‌ها دست کم پس از میوسن و احتمالاً در زمان پلیوسن نفوذ کرده‌اند. بنابراین با این وصف، دایک‌های لامپروفیری موجود در منطقه پس از بسته شدن اقیانوس نشوتیس و برخورد صفحه ایران و عربی در یک محیط پس از برخورد و داخل صفحه‌ای جایگزین شده‌اند. در نمودارهای شکل ۱۱ نمونه‌های لامپروفیری‌های آلکالان در محیط غیرکوهزایی در حالی که نمونه‌های لامپروفیری‌های آلکالان در محیط‌های کوهزایی در قرار دارند. نمونه‌های لامپروفیری‌های آلکالان در محیط‌های محیط‌های کوهزایی متمایل هستند. با توجه به مطالعه یادشده در مباحث پیشین و نیز زمان جایگزینی لامپروفیری‌های مورد مطالعه، هر دو نوع لامپروفیری‌های مطالعه شده در محیط غیرکوهزایی جایگزین شده‌اند. بنابراین در نمودارهای شکل ۱۱ تمایز دو گروه لامپروفیری مطالعه شده نه بر پایه محیط زمین‌ساختی، بلکه بر پایه محیط پیشین و گوشه آنها است. لامپروفیری‌های آلکالان از منشأ گوشه‌ای متاسوماتیسم شده توسعه عوامل فرورانش ایجاد شده‌اند در حالی که لامپروفیری‌های آلکالان از یک گوشه لیتوسفری تحت تأثیر سیالات ناشی از گوشه ژرف نشأت گرفته‌اند. در شکل گیری لامپروفیری‌های آمفیبیول دار سرخه مرند نیز هر دو گوشه دخالت داشته است ولی میزان مشارکت گوشه لیتوسفری تحت تأثیر گوشه نوع OIB در تشکیل آنها بیشتر و مهم‌تر بوده است. لامپروفیری‌های مورد مطالعه در یک محیط پس از برخورد و در اثر کشش و Relaxation پس از برخورد جایگزین شده‌اند. مدل‌های عقب‌نشینی پهنه فرورانش (Slab rollback) (Lonergan & White, 1997) شکستن و جدا شدن قطعه فرورانده شده (Davies & Von Blanckenburg, 1995) Delamination (ورقه ورقه شدن) (Bird, 1979) و حرکت همرفتی لیتوسفر (Houseman et al., 1981) برای توجیه کشش پس از برخورد به کار برده شده است. تمام فرایندها باعث بالا آمدگی استنسوفر با ماهیت OIB و بهم ریختگی گردیدن دمایی اولیه و در نتیجه زمین‌ساخت کششی و تشکیل مگما می‌شود. به نظر می‌رسد که در اثر فرایندهای شکستن قطعه اقیانوسی فرورونده (Slab break off) و پوسته پوسته شدن گوشه‌ای (Delamination) و تعادل سازی پس از برخورد، گوشه استنسوفری بالا آمده و باعث ذوب گوشه لیتوسفری متاسوماتیسم شده توسعه عوامل فرورانش و نیز عوامل گوشه ژرف شده است.

۶- نتیجه‌گیری

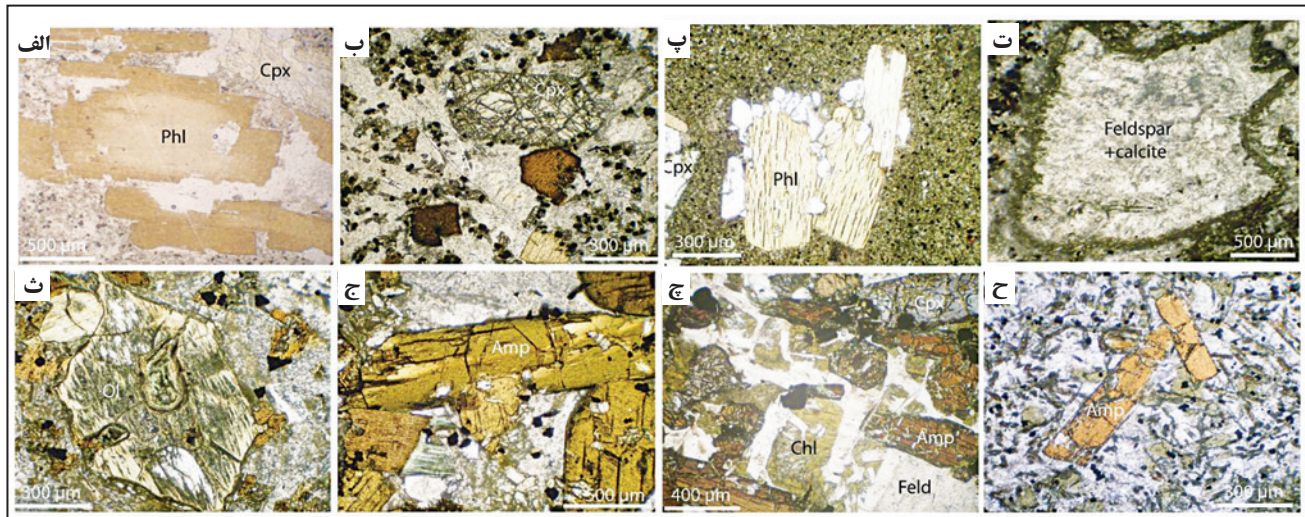
در منطقه شمال باختر ایران انواع لامپروفیری‌های غنی از آمفیبیول و غنی از میکا در مناطق مختلف شناسایی شده است. این مناطق شامل رشته ارتفاعات میشو، پهنه ارسباران و شبه‌جزیره اسلامی هستند. در رشته ارتفاعات میشو در منطقه سرخه مرند



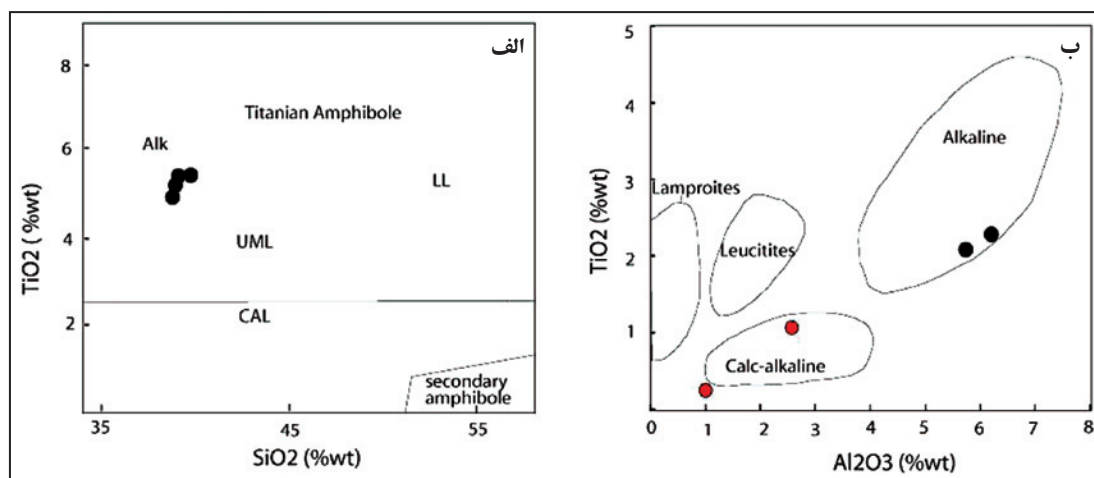
شکل ۱- نقشه زمین‌شناسی منطقه مورد مطالعه به همراه موقعیت لامپروفیرهای مورد مطالعه در آن (نقشه پایه از نقشه‌های زمین‌شناسی ۱:۲۵۰۰۰۰ اهر، تبریز- پلدشت و ارومیه سازمان زمین‌شناسی و اکتشافات معدنی کشور گرفته شده است).



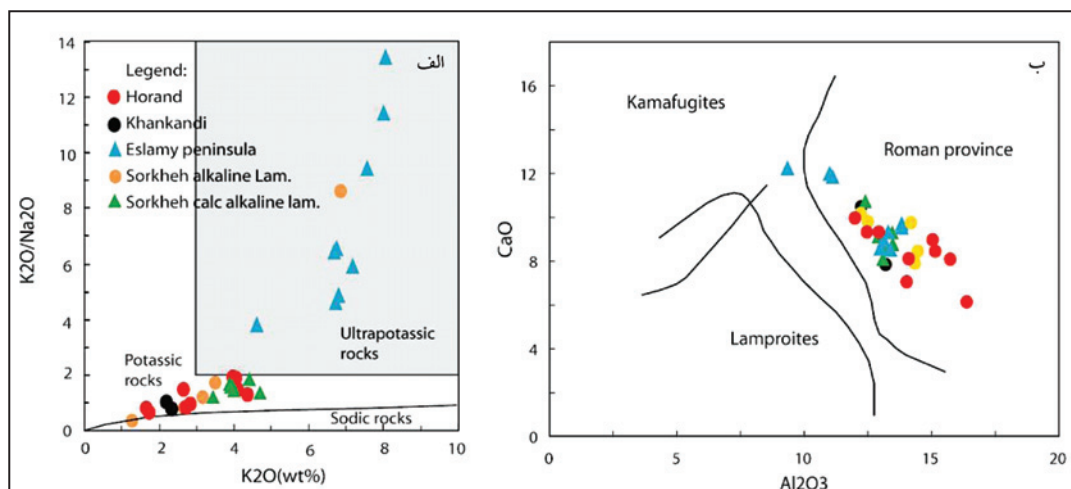
شکل ۲- تصاویری از رخمنونهای لامپروفیرهای مورد مطالعه؛ الف) تصویری از دایک لامپروفیری در شبه‌جزیره اسلامی که نهشته‌های پلوسون را قطع کرده است؛ ب) تصویری از حاشیه زود سرد شده در دایک‌های غنی از میکای شبه‌جزیره اسلامی؛ پ) نمایی از دایک‌های غنی از میکا در سرخه مرند که نهشته‌های سازند سرخ بالایی را قطع کرده‌اند؛ ت) نمایی از درشت‌بلورهای میکا در دایک‌های غنی از میکای سرخه مرند؛ ث) نمایی از سیل لامپروفیر غنی از میکا در منطقه هوراند؛ ج) نمایی از درشت‌بلورهای میکا در لامپروفیرهای شبه‌جزیره اسلامی؛ ح) نمایی از بافت پگماتیتی آمفیبول در لامپروفیرهای غنی از آمفیبول سرخ.



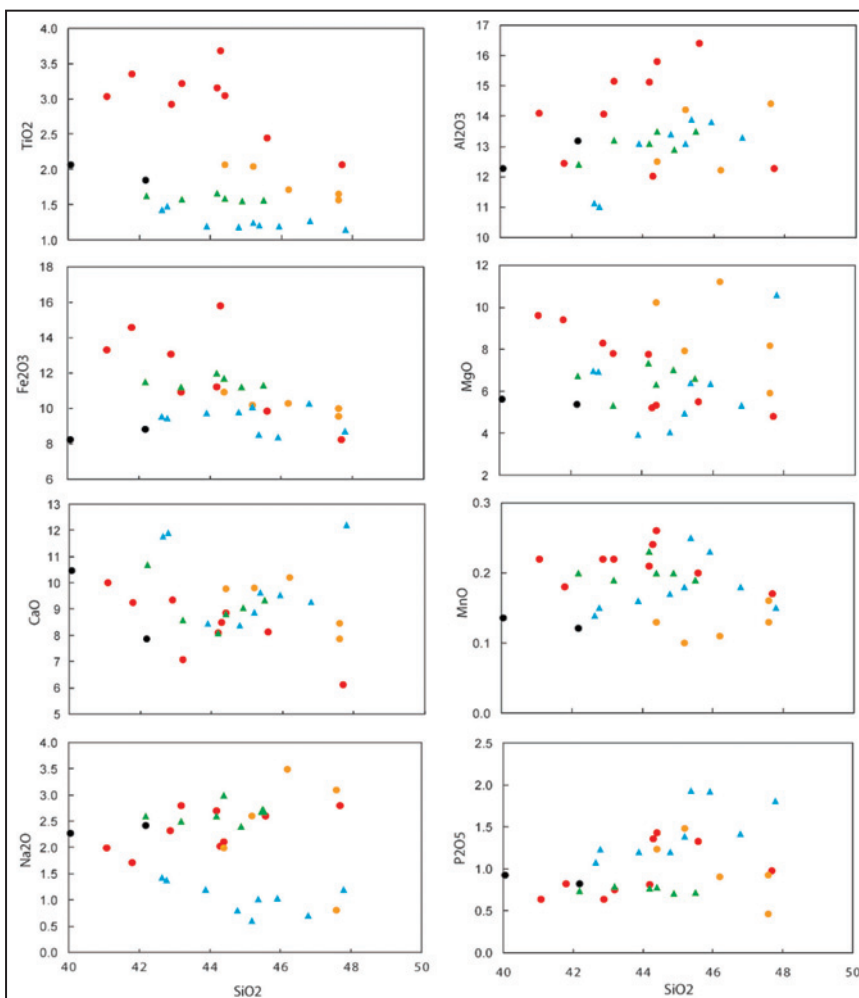
شکل ۳- تصاویر میکروسکوپی از لامپروفیرهای مورد مطالعه؛ (الف) تصویری از درشت بلور فلوگوپیت با منطقه بندی ترکیبی در لامپروفیرهای غنی از میکاشبه جزیره اسلامی؛ (ب و پ) تصاویری از بافت پورفیری با درشت بلورهای فلوگوپیت و پیروکسن همچنین تیغه هایی از آپاتیت در لامپروفیرهای غنی از میکا؛ (ت) تصویری از گلیول غنی از فلدسپار و کلسیت در لامپروفیرها میکا دار؛ (ث) تصویری از پس ده مورف الیونین در آمفیبول لامپروفیرهای منطقه سرخه؛ (ج، ح) تصاویری از بافت پورفیری با درشت بلورهای آمفیبول و کلینوپیروکسن در یک زمینه ای از فلدسپار در لامپروفیرهای آلکالن.



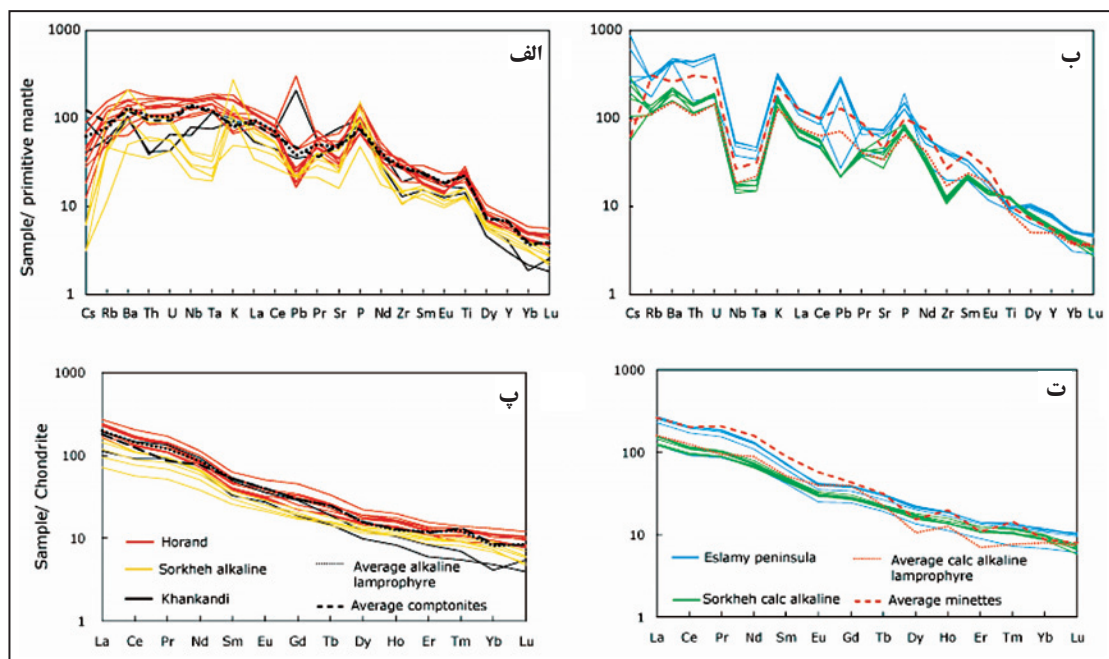
شکل ۴- ماهیت لامپروفیرهای مورد مطالعه بر پایه ترکیب کانی های کانی شناسی کانی ها؛ (الف) بر پایه ترکیب آمفیبول ها؛ (ب) بر پایه ترکیب کلینوپیروکسن ها؛ در این نمودارها لامپروفیرهای آمفیبول دار از نوع آلالکان و میکا دار از نوع کالک آلالکان هستند. نمودارها از (Rock 1991) است.



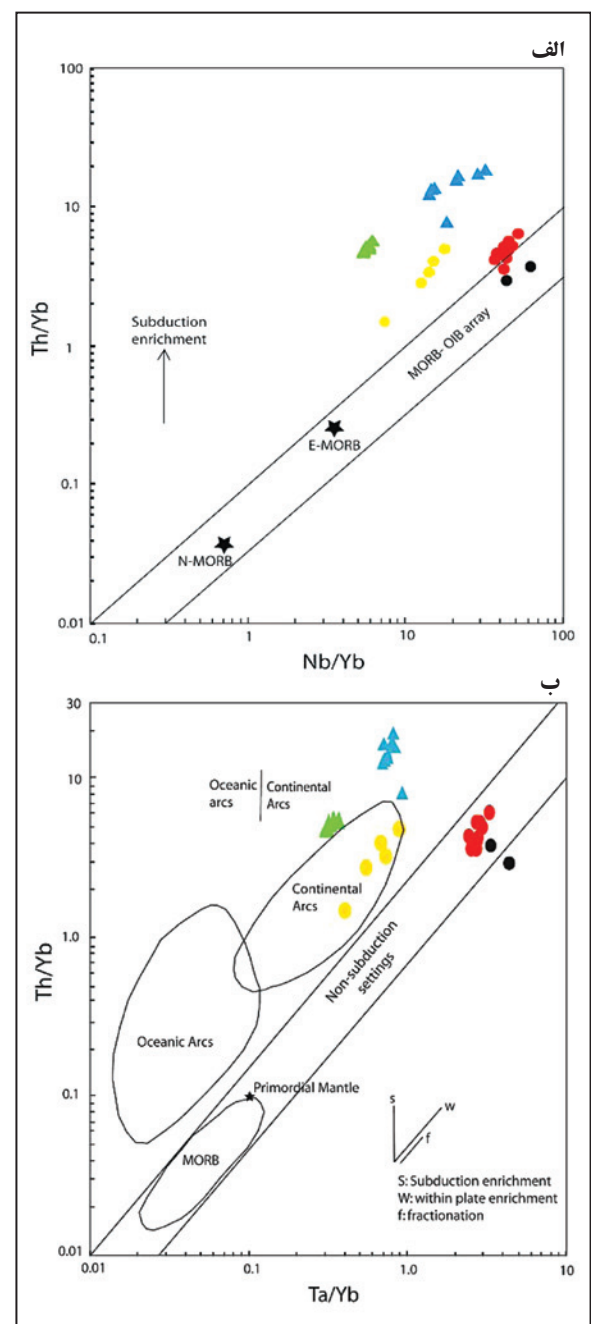
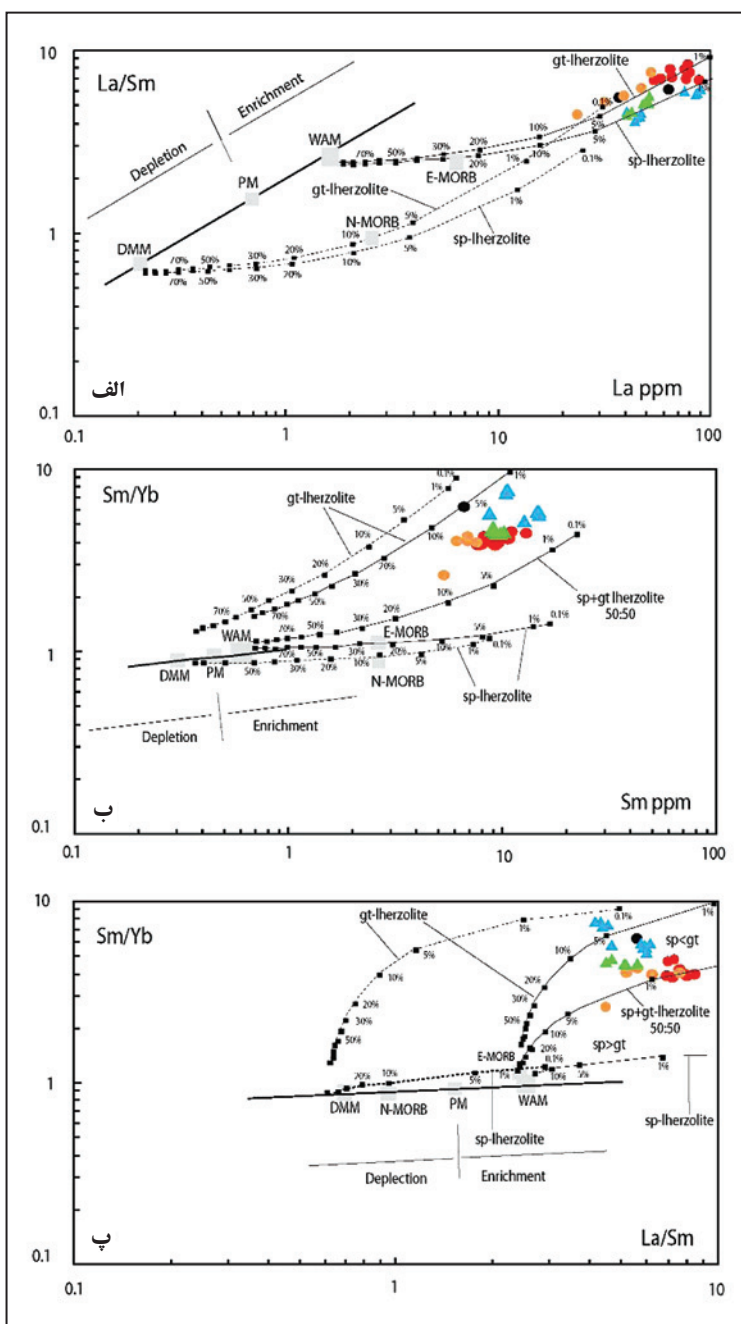
شکل ۵- (الف) نمودار $\text{K}_2\text{O}/\text{Na}_2\text{O}$ در برابر K_2O ، نمونه های مربوط به شبه جزیره اسلامی در محدوده اولترایاتاسیک و دیگر نمونه ها در محدوده پاتاسیک قرار دارند. محدوده اولترایاتاسیک بر پایه فرمول Foley et al. (1987) و تمایز محدوده سدیک از پاتاسیک بر پایه Foley et al. (1989) صورت گرفته است؛ (ب) نمودار CaO در برابر Al_2O_3 که نمونه های منطقه در محدوده ایالت Roman قرار دارند. نمودار بر پایه Foley et al. (1987) است.



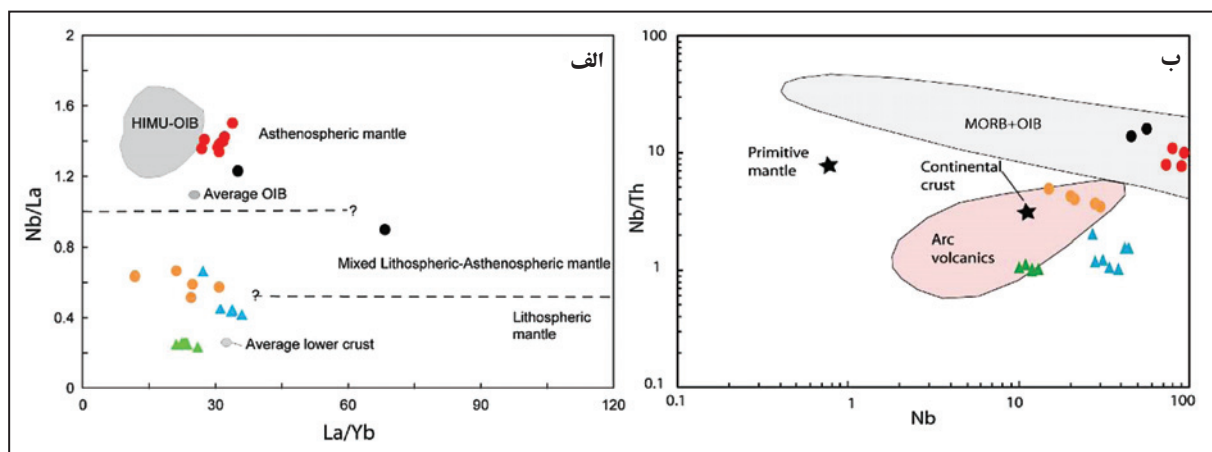
شکل ۶- نمودارهای هارکر برای سنگ‌های مورد مطالعه، همچنان که مشخص است نمونه‌های مربوط به لامپروفیرهای مورد مطالعه روندهای متمایزی دارند.
علاوه همانند شکل ۵.



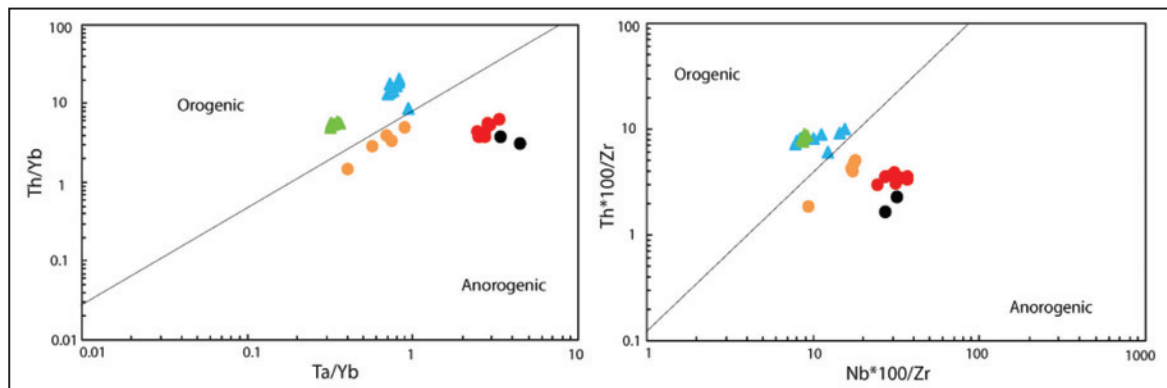
شکل ۷- (الف) الگوی عناصر کمیاب لامپروفیرهای آلکالن؛ ب) الگوی عناصر کمیاب لامپروفیرهای آلکالن که نسبت به گوشته اولیه عادی‌سازی شده‌اند داده‌های گوشته اولیه از (Sun & McDonough 1989) است؛ ب و ت) الگوی عناصر خاکی کمیاب در لامپروفیرهای آلکالن و کالک‌آلکالن که نسبت به کندریت عادی شده‌اند (داده‌های کندریت از Nakamura (1974). برای بحث به متن رجوع شود. متوسط لامپروفیرهای کالک‌آلکالن، آلکالن، مینت‌ها و کامپتونیت‌ها نیز برای مقایسه آورده شده است (متوجه داده‌های انواع لامپروفیرها از Rock (1999) است.



شکل ۸-الف تا ب) نمودارهای La/Sm در برابر Sm/Yb در برابر La/Sm و Sm/Yb در برابر Sm/Yb نشان دهنده منحنی های خطوط ناشی از ذوب دسته ای با استفاده از معادلات Show (1970) است. نمودارها از Aldanmaz et al. (2000) و Kinzler (1997) را در حالت افزایش ذوب برای اسپینل لرزولیت از (1997) و برای گارنت لرزولیت از Sun & McDonough (1989) و Aldanmaz et al. (2000) در برآوردهای La/Sm و Sm/Yb نشان می کنند. ضریب توزیع برای کانی ها و مذاب و گوشته از DMM (Mantle) و PM, N-MORB and E-MORB ترکیب گوشته McKenzie & O'Nions (1991 & 1995) است. خطوط سبیر نشانگر آرایه گوشته ای است که به وسیله ترکیب گوشته های Sun & McDonough (1989) رسم شده است. منحنی ها و خطوط نقطه چین نشانگر روندهای ذوب از گوشته DMM و PM و مذاب نشانگر درجه ذوب ممتد نشانگر روندهای ذوب از گوشته WAM است. در صدای های مشخص شده نشانگر درجه ذوب بخشی برای مشاهای مختلف است. برای بحث به متن رجوع شود.



شکل ۱۰- (الف) نمودار Nb/La در برابر La/Yb برای تمايز منشأ گوشته استنوسفری و لیتوسفری مورد مطالعه، نمودار از Abdel-Fattah & Philip (2004) داده‌های محدوده از OIB (Fitton et al. 1999)؛ داده‌های متوسط پوسته پایین از Chen & Arculus (1995)؛ خطوط تمايز منشأهای مختلف استنوسفری و لیتوسفری از Weaver et al. (1987)؛ (ب) نمودار Nb/Th در برابر Nb که نشانگر منشأهای متفاوت برای لامپروفیرهای مورد مطالعه است. داده‌های OIB-HIMU (Smith et al. 1999) در این نمودار ترکیب از MORB, OIB and UCC (upper continental crust) می‌باشد.



شکل ۱۱- نمودار تعیین محیط زمین‌ساختی لامپروفیرهای مورد مطالعه، برای بحث به من رجوع شود. علاوه همانند شکل ۵ هستند.

جدول ۱- نتایج آنالیز نقطه‌ای برخی کانی‌های لامپروفیرهای آمفیبولدار و میکادار مورد مطالعه.

Comment	Horand Amphibole		Khankandi Amphibole		Eslamy Mica		Eslamy CPX		Khankandi CPX	
	Core	Rim	Core	Rim	Core	Rim	Core	Rim	Core	Core
SiO ₂	39.21	38.94	39.78	38.96	38.30	37.17	53.50	50.00	44.56	46.19
Al ₂ O ₃	12.97	12.97	12.74	12.89	13.78	12.77	0.99	2.57	6.22	5.72
TiO ₂	5.54	4.99	5.48	5.23	2.92	4.34	0.25	1.08	2.29	2.09
FeO*	10.84	12.95	9.38	9.31	5.85	9.14	3.44	6.71	6.90	6.74
MgO	12.37	11.51	14.27	14.13	22.58	19.71	17.28	14.84	12.89	13.46
CaO	11.71	11.78	11.96	11.91	0.00	0.00	23.67	23.29	21.89	22.91
K ₂ O	1.36	1.24	1.17	1.17	9.96	9.44	0.00	0.02	0.00	0.00
Na ₂ O	2.37	2.61	2.31	2.40	0.19	0.23	0.22	0.33	0.90	1.17
MnO	0.23	0.17	0.08	0.04	0.04	0.09	0.13	0.16	0.00	0.00
BaO	0.16	0.13	0.15	0.03	0.80	1.57	0.00	0.00	0.00	0.00
Cr ₂ O ₃	0.06	0.00	0.00	0.00	0.18	0.05	0.17	0.00	0.00	0.00
Cl	0.01	0.02	0.00	0.00	0.04	0.03	0.00	0.00	0.00	0.00
F	0.19	0.09	0.43	0.24	0.81	1.24	0.00	0.00	0.00	0.00
Total Cations	97.02	97.39	97.79	96.52	95.44	95.79	99.63	99.00	96.10	98.43
Si	7.33	7.33	5.86	5.81	6.67	6.58	1.96	1.88	1.75	1.77
Ti	0.78	0.71	0.61	0.59	0.38	0.58	0.01	0.03	0.07	0.06
Al	2.86	2.88	2.21	2.27	2.83	2.66	0.04	0.11	0.29	0.26
Mg	3.45	3.23	3.13	3.14	5.86	5.20	0.95	0.83	0.75	0.77
Fe	1.69	2.04	1.16	1.16	0.85	1.35	0.11	0.21	0.22	0.26
Ca	2.35	2.38	1.89	1.90	0.00	0.00	0.93	0.94	0.92	0.94
K	0.32	0.30	0.22	0.22	2.21	2.13	0.00	0.00	0.00	0.00
Na	0.86	0.95	0.66	0.69	0.06	0.08	0.02	0.02	0.07	0.09
Mn	0.04	0.03	0.01	0.00	0.01	0.01	0.00	0.01	0.00	0.00
Ba	0.01	0.01	0.00	0.00	0.05	0.11	0.00	0.00	0.00	0.00
Cr	0.01	0.00	0.00	0.00	0.03	0.01	0.01	0.00	0.00	0.00
Mg#	0.67	0.61	0.63	0.63	0.87	0.79	0.90	0.80	0.77	0.75

جدول ۱- تیج ایزوتوموگرافی مورد مطالعه، نمودهای بر روی و شده از *Moayyed et al.* (2008) با علامت (*) مخصوص نشانه است. علامت IMA: نمودهای هردوای هردوای جانشینی؛ H0: نمودهای هردوای جانشینی؛ SA: نمودهای هردوای شبکه جزیره اسلامی؛ KKh: نمودهای هردوای شبکه جزیره اسلامی؛ آن:

کتابنگاری

آغازده، م.، ۱۳۸۸- پترولوزی و ژئوشیمی گرانیتوییدهای انزان، خانکندی و شیورداغ، شمال و خاور اهر، آذربایجان خاوری، با نگرشی بر کانی زایی وابسته، رساله دکتری، دانشگاه تربیت مدرس، ۴۴۶ صفحه.

شیردل، ن.، ۱۳۸۸- بررسی‌های سنگ‌نگاری و سنگ‌شناختی توده‌های نفوذی شمال خاور هوراند (حاجو)، پایان‌نامه کارشناسی ارشد، دانشگاه تبریز، ۱۵۰ صفحه.

References

- Abdel-Fattah, M. & Philip, E. N., 2004- Cenozoic volcanism in the Middle East: petrogenesis of alkali basalts from northern Lebanon. Geological Magazine 141, 545–563.
- Aghazadeh, M., Castro, A., Badrzadeh, Z. & Vogt, K., 2011- Post-collisional polycyclic plutonism from the Zagros hinterland: the Shaivar Dagh plutonic complex, Alborz belt, Iran. Geological Magazine 148 , 980–1008.
- Aghazadeh, M., Castro, A., Rashidnejad Omran, N., Emami, M. H., Moinvaziri, H. & Badrzadeh, Z., 2010- The gabbro (shoshonitic)–monzonite–granodiorite association of Khankandi pluton, Alborz Mountains, NW, Iran. Journal of Asian Earth Sciences 38, 199–219.
- Alavi, M., 1996- Tectonostratigraphic synthesis and structural style of the Alborz mountain system in northern Iran. Journal of Geodynamics 21, 1–33.
- Aldanmaz, E., Pearce, J. A., Thirlwall, M. F. & Mitchell, J. G., 2000- Petrogenetic evolution of late Cenozoic, post-collision volcanism in western Anatolia, Turkey. Journal of Volcanology and Geothermal Research 102, 67–95.
- Bergman, S. C., 1987- Lamproites and other potassium-rich igneous rocks: A review of their occurrence, mineralogy and geochemistry, in Alkaline Igneous Rocks, edited by J. G. Fitton and B. G. J. Upton. Geological Society Special Publication London 30, 103–190.
- Bird, P., 1979- Continental delamination and the Colorado Plateau. Journal of Geophysical Research 84, 7561–7571.
- Bradshaw, T. K. & Smith, E. I., 1994- Polygenetic Quaternary volcanism at Crater Flat, Nevada. Journal of Volcanology and Geothermal Research 63, 165–82.
- Canning, J. C., Henney, P. J., Morrison, M. A. & Gaskarth, J. W., 1996- Geochemistry of the late Caledonian minettes from northern Britain: implications for the Caledonian sub-continental lithospheric mantle. Mineralogical Magazine 60, 221–236.
- Chen, W. & Arculus, R. J., 1995- Geochemical and isotopic characteristics of lower crustal xenoliths, San Francisco Volcanic Field, Arizona, U.S.A. Lithos 110, 99–119.
- Currie, K. L. & Williams, P. R., 1993- An Archean calc-alkaline lamprophyre suite, northeastern Yilgarn block, Western Australia. Lithos 31, 33–50.
- Davies, J. H. & Von Blanckenburg, F., 1995- Slab breakoff: A model of lithosphere detachment and its test in the magmatism and deformation of collisional orogens. Earth Planetary Science Letters 129, 85–102.
- Domenick, M. A. & Basu, A. R., 1982- Age and origin of the Cortland Complex, New York: Implications from Sm-Nd data. Contributions to Mineralogy and Petrology 79, 290–294.
- Dostal, J. & Owen, J. V., 1998- Cretaceous alkaline lamprophyres from northeastern Czech Republic: geochemistry and petrogenesis. Geology Rundsch 87, 67–77.
- Fitton, J. G., James, D. & Leeman, W. P., 1991- Basic magmatism associated with Late Cenozoic extension in the western United States: compositional variations in space and time. Journal of Geophysical Research 96, 13693–13712.
- Foley, S. F., Venturelli, G., Green, D. H. & Toscani, L., 1987- The ultrapotassic rocks: characteristics, classification, and constraints for petrogenetic models. Earth-Science Reviews 24, 81–134.
- Fowler, M. B. & Henney, P. J., 1996- Mixed Caledonian appenite magmas: implication for lamprophyre fractionation and high Ba- Sr Granite genesis. Contributions to Mineralogy and Petrology 126, 199–215.
- Hajalilou, B., Moayyed, M. & Hosseinzadeh, G., 2009- Petrography, geochemistry and geodynamic environment of potassic alkaline rocks in Eslamy peninsula, northwest of Iran. Journal of Earth System Sciences 118, 643–657.
- Houseman, G. A., McKenzie, D. P. & Molnar, P., 1981- Convective instability of a thickened boundary layer and its relevance for the thermal evolution of continental convergent belts. Journal of Geophysical Research 86, 6115–6132.
- Innocenti, F., Manetti, P., Mazzuoli, R., Pasquare, G. & Villari, L., 1982- Anatolia and northwestern Iran. In: R.S. Thorpe (Editor), Andesites: Orogenic Andesites and Related Rocks. Wiley, New York, 360 pp.
- Jaques, A. L., Lewis, J. D. & Smith, C. B., 1986- Kimberlites and lamproites of Western Australia. Geological Survey Western Australia Bulletin 132, 268.
- Kerr, A. C., Khan, M., Mahoney, J. J., Nicholson, K. N. & Hall, C. M., 2010- Late cretaceous alkaline sills of the south Tethyan suture zone, Pakistan, initial melts of the Réunion hotspot. Lithos 117, 161–171.
- Kinzler, R. J., 1997- Melting of mantle peridotite at pressures approaching the spinel to garnet transition: application to midocean ridge basalt petrogenesis. Journal of Geophysical Research 102, 853–874.

- Le Maitre, R.W., 1989- A classification of igneous rocks and glossary of terms: recommendations of the International Union of Geological Sciences subcommission on the systematic[^] of igneous rocks. Oxford, Blackwell Science Publications, 193pp.
- Leake, B. E., Woolley, A. R., Arps, C. E. S., Birch, W. D., Gilbert, M. C., Grice, J. D., Hawthorne, F. C., Kato, A., Kisch, H. J., Krivovichev, V. G., Linthout, K., Laird, J., Mandarino, J. A., Maresch, W. V., Nickel, E. H., Rock, N. M. S., Schumacher, J. C., Smith, D. C., Stephenson, N. C. N., Ungaretti, L., Whittaker, E. J. W. & Youzhi, G., 1997- Nomenclature of amphiboles; report of the subcommittee on amphiboles of the International Mineralogical Association, Commission on New Minerals and Mineral Names. Canadian Mineralogist 35 219–246.
- Lonergan, L. & White, N., 1997- Origin of the Betic–Rif mountain belt. Tectonics 16, 504–522.
- McKenzie, D. P. & O'Nions, R. K., 1991- Partial melt distribution from inversion of rare earth element concentrations. Journal of Petrology 32, 1021-1091.
- McKenzie, D. P. & O'Nions, R. K., 1995-The source regions of Ocean Island Basalts. Journal of Petrology 36, 133-159.
- McKenzie, D., 1989- Some remarks on the movement of small melt fractions in the mantle. Earth Planetary Science Letters 95, 53–72.
- Moayyed, M., Moazzen, M., Calagari, A. A., Jahangiri, A. & Modjarrad, M., 2008- Geochemistry and petrogenesis of lamprophyric dykes and the associated rocks from Eslamy peninsula, NW Iran: Implications for deep-mantle metasomatism. Chemie der Erde/ Geochemistry 68, 141–154.
- Moin vaziri, H., 1985-Volcanisme tertiaire et quaternaire en Iran, These d'Etat, Université Paris-Sud, Orsay. 185pp.
- Moradian-Shahrabaky, A., 1997- Geochemistry, Geochronology, and Petrology of Feldspathoid-bearing Rocks in the Urumieh-Dokhtar Volcanic belt, Iran. Ph.D. Thesis, University of Wollongong, 411pp.
- Nakamura, N., 1974- Determination of REE, Ba, Fe, Mg, Na, and K in carbonaceous and ordinary chondrites. Geochimica et Cosmochimica Acta 38, 757–775.
- Nelson, D. R., McCulloch, M. T. & Sun, S. S., 1986- The origins of ultra-potassic rocks as inferred from Sr, Nd and Pb isotopes. GeochimicaCosmochimica Acta 50, 231–245.
- Pearce, J. A. & Peate, D. W., 1995- Tectonic implications of the composition of volcanic arc magmas. Annu. Reviews Earth Planetary Sciences 23, 251–285.
- Pearce, J. A., 2008- Geochemical fingerprinting of oceanic basalts with application to ophiolite classification and the search for Archean oceanic crust. Lithos 100, 14–48.
- Prelevic, D., Foley, S. F., Romer, R. L., Cvetkovic, V. & Downes, H., 2005- Tertiary ultrapotassic volcanism in Serbia: constraints on petrogenesis and mantle source characteristics. Journal of Petrology 46, 1443–1487.
- Rock, N. M. S., 1977- The nature and origin of lamprophyres: some definitions, distinctions, and derivations. Earth-Science Reviews 13, 123–169.
- Rock, N. M. S., 1987-The nature and origin of lamprophyres: an overview. In: J. G., Fitton & B. G .J., Upton (Eds), alkaline igneous rocks. Geological Society Special Publication 30, 191–226.
- Rock, N. M. S., 1991- Lamprophyres. Blackie and Son, Glasgow, 181pp.
- Roden, M. F., 1981- Origin of coexisting minette and ultramafic breccia, Navajo Volcanic Field. Contributions to Mineralogy Petrology 11, 195–206.
- Rogers, N. W., Bachinski, S. W., Henderson, P. & Parry, S. J., 1982- Origin of potash-rich basic lamprophyres trace element data from Arizona minettes. Earth and planetary science letters 57, 305-312.
- Seifert, T., 2008-Metallogeney and petrogenesis of Lamprophyres in the Mid-European Variscides, IOS press, 303pp.
- Shand, P., Gaskarth, J. W., Thirlwall, M. F. & Rock, N. M. S., 1994- Late Caledonian lamprophyre dyke swarms of south-eastern Scotland. Mineralogy and Petrology 51, 277-298.
- Shaw, D. M., 1970-Trace element fractionation during anatexis. Geochimica et Cosmochimica Acta 34, 237-243.
- Sheppard, S. & Taylor, W. R., 1992- Barium- and LREE-rich, olivine-mica-lamprophyres with affinities to lamproites, Mt. Bunney, Northern Territory, Australia. Lithos 28, 303-25.
- Smith, E. I., Sanchez, A., Walker, J. D. & Wang, K., 1999-Geochemistry of mafic magmas in the Hurricane Volcanic field, Utah: implications for small- and large-scale chemical variability of the lithospheric mantle. Journal of Geology 107, 433–448.
- Stille, P., Clauer, N. & Abrecht, J., 1989- Nd isotopic composition of Jurassic Tethys seawater and the genesis of Alpine Mn-deposits: evidence from Sr–Nd isotope data. Geochimica et Cosmochimica Acta 53, 1095–1099.
- Sun, S. S. & McDonough, W. F., 1989 Chemical and isotopic systematics of oceanic basalts: implications for mantle composition and processes. In: Saunders, A.D., Norry, M.J. (Eds.). Magmatism in the Ocean Basins, Geological Society of London, Special Publication 42, 313-345.
- Taylor, S. R. & McLennan, S. M., 1985- The Continental Crust: its Composition and Evolution. Blackwell Scientific, Oxford. 312 pp.
- Thompson, N., Leat, P. T., Dichina, P., Morrison, A., Hendryg, L. & Gibson, A., 1989-Strongly potassic mafic magmas from lithospheric mantle sources during continental extension and heating: evidence from Miocene minettes of northwest Colorado, U.S.A. Earth and Planetary Science Letters 98, 139-153.

- Thompson, R. N. & Gibson, S. A., 1994- Magmatic expression of lithospheric thinning across continental rifts. *Tectonophysics* 233, 41–68.
- Von Seckendorff, V., Timmerman, M. J., Kramer, W. & Wrobel, P., 2004- New 40Ar/39Ar ages and geochemistry of late Carboniferous to early Permian lamprophyres and related volcanic rocks in the Saxothuringian Zone of the Variscan Orogen (Germany). In: WILSON, M., NEUMANN, E.-R., DAVIES, G. R., TIMMERMAN, M. J., HEEREMANS, M. & LARSEN, B. T. (eds) *Permo-Carboniferous Rifting and Magmatism in Europe*. Geological Society London, Special Publications 223, 335–359.
- Weaver, B. L., Wood, D. A., Tarney, J. & Joron, J., 1987- Geochemistry of ocean island basalt from the South Atlantic: Ascension, Bouvet, St. Helena, Gough and Tristan da Cunda. In: FITTON, J.G. & UPTON, B. G. J., (eds), *Alkaline Igneous Rocks*. Geological Society London Special Publications 30, 253–267.
- Woolley, A. R., Bergman S. C., Le Bas, M. J., Mitchell, R. H., Rock, N. M. S. & Smith, B. H., 1996- Classification of lamprophyres, lamproites, kimberlites and the kalsilitic, melilitic and leucitic rocks. *Canadian Mineralogist* 34, 175–186.
- Xu, X. W., Zhang, B. L., Qin, K. Z., Mao, Q. & Cai, X. P., 2007- Origin of lamprophyres by the mixing of basic and alkaline melts in magma chamber in Beiya area, western Yunnan, China. *Lithos* 99, 33: 9-362.
- Yoder, H. S. & Tilley, C. E., 1961- Derivation of magma types from a primary magma. *Carnegie Inst. Wash. Year Book* 60,106-113.
- Zhang, H. C., Thurber, D., Shelly, S., Beroza, G. & Hasegawa, A., 2003- Subducting slab structure beneath northern Honshu, Japan, revealed by Double-Difference tomography. *Geology* 102, 211-219.

Petrology and Petrogenesis of Alkaline and Calc-Alkaline Lamprophyres in the NW Iran

M. Aghazadeh^{1*} & Z. Badrzadeh¹

¹Assistant Professor, Department of Geology, Payame Noor University, Iran

Received: 2012 July 04

Accepted: 2013 March 05

Abstract

In the northwestern Iran mica-and amphibole-rich lamprophyres crop out mainly as dyke and they cut Pre-Pliocene strata. They exposed in the Arasbaran, Eslamy Peninsula, and Mishu range. According to the mineralogy and mineral chemistry, amphibole-rich lamprophyres have kaersutite type amphiboles and diopside phenocrysts in the matrix of same mafic minerals, feldspars, and altered glass. These lamprophyres in some thin sections have olivine and phlogopite. Mica-rich lamprophyres include phlogopite and diopside phenocrysts in the matrix of same mafic minerals, abundant glass and secondary minerals. According to the mineralogy, mineral chemistry, and geochemistry, amphibole-rich lamprophyres are alkaline and show camptonite-sannaite composition but mica-rich lamprophyres are calc-alkaline and represent minette composition. Alkaline lamprophyres represent characteristics of OIB type magma while calc-alkaline lamprophyres show characteristics of magmas originated in the subduction dominant tectonic setting. Sorkheh amphibole-bearing lamprophyres show both alkaline and calc-alkaline type lamprophyres. Regarding to geochemical features both calc-alkaline and alkaline lamprophyres originated from heterogeneous mantle with different proportions of spinel, garnet and hydrous minerals (e.g. phlogopite and amphibole). Calc-alkaline lamprophyres originated from a mantle enriched in phlogopite and alkaline lamprophyres originated from lithospheric mantle that metasomatised by deep mantle and enriched in amphibole. Both mentioned mantles associated in the petrogenesis of the Sorkheh amphibole- bearing lamprophyres. The lamprophyres were emplaced in the post collisional tectonic setting.

Keywords: Lamprophyre, Alkaline, Calc-Alkaline, Petrogenesis, Iran.

For Persian Version see pages 87 to 102

*Corresponding author: M. Aghazadeh; E-mail: Mehrajaghazadeh@yahoo.com